

## Приложение 6

# КРАЕВЫЕ ЗАДАЧИ О НАПРЯЖЕННО-ДЕФОРМИРОВАННОМ СОСТОЯНИИ ТВЕРДЫХ ТЕЛ. СТАТИКА. БОЛЬШИЕ ДЕФОРМАЦИИ (теория)

### П6.1 О классических типах формулирования алгоритмов решения геометрически нелинейных краевых задач

После того, как будут получены системы алгебраических уравнений (САУ) для итерационного решения краевых задач с геометрической нелинейностью, проявятся *две проблемы*:

- во-первых, на момент вычисления компонент САУ текущая геометрия тела не определена;
- во-вторых, напряжения  $\sigma^{ij}$  (Эйлера-Коши), вычисленные в разных конфигурациях, нельзя просто так складывать, поскольку нужно учитывать вращение площадок, на которых они вычислялись и вычисляются.

Первая проблема вынуждает искать решение на основе *предварительно* определенной (*опорной*) геометрии тела, вторая – проводить преобразования напряжений.

Если в качестве опорной геометрии тела на всех этапах нагружения используется *начальная* геометрия, то такой подход называют „*полная формулировка Лагранжа*” (Total Lagrange – **TL**). Иначе, если в качестве опорной геометрии тела на всех этапах нагружения используется геометрия, которая *создана предыдущим этапом нагружения*, то такой подход называют „*модифицированная формулировка Лагранжа*” (Updated Lagrange – **UL**).

**TL**-формулировку можно применять лишь тогда, когда при получении решения не имеет значения *история нагружения* тела. Эта история может быть значащей:

- при потере устойчивости геометрии тела, если нужно изучать дальнейшее его напряженно-деформированное состояние, в частности, после так называемого „прощелкивания” конструкции;
- при сложном упруго-пластическом нагружении, когда в разных частях тела реализуются разные траектории деформирования, в частности, одновременно происходят процессы активного упруго-пластического деформирования и упругой разгрузки;
- при действительно значительных деформациях, когда теоретически нельзя складывать даже деформации, а можно складывать только скорости деформаций, т.е. реализовывать формулировку Эйлера. Погрешность, которая возникает при простом сложении деформаций, считается небольшой где-то в пределах до 2 процентов деформации.

При применении **UL**-формулировки нужно автоматически всю историю нагружения разделять на отдельные этапы и на всех этапах обеспечивать относительно небольшие приращения нагрузки. Наличие многих этапов обычно увеличивает время получения решения краевой задачи. Поэтому, если отсутствуют неупругие деформации или упруго-пластическое нагружение – пропорциональное, а деформации – относительно малы, использование формулировки **TL** обычно эффективнее, чем **UL**, так как все нагружение можно провести за один этап. И лишь тогда, когда краевая задача обязывает применение малых приращений нагрузки, нужно применять формулировку **UL**.

Далее коротко рассмотрим эти обе формулировки и сопутствующие проблемы.

Использование базовой, а не текущей, конфигурации тела нуждается в перерасчете величин, фигурирующих в формулах, на базовую конфигурацию. Поэтому изменяются даже названия (меры) тензоров напряжений и деформаций.

В таблице П6.1 приведена краткая информация о характерных ситуациях при наличии физической и/или геометрической нелинейности (формулировка Эйлера с неподвижной сеткой и **ALE** (смешанная Эйлера-Лагранжа) – не рассматриваются).

Таблица Пб.1 – Ситуации при моделировании нелинейных краевых задач о НДС тел

Тип анализа	Описание ситуации	Типы формулировок	Меры деформаций и напряжений
Только нелинейность свойств материала (только физическая нелинейность)	Бесконечно малые параллельные перемещения и вращения; соотношения „напряжения-деформации” являются нелинейными	Только нелинейность свойств материала (Materially nonlinear only – <b>MNO</b> )	Напряжения Эйлера-Коши, малые деформации Грина-Лагранжа (Cauchy stress, small Green-Lagrange strain)
Большие параллельные перемещения, большие вращения, но малые деформации	Параллельные перемещения и вращения волокон являются большими, но удлинения волокна и угловые изменения между волокнами являются малыми; соотношения „напряжения-деформации” могут быть линейными или нелинейными	Полная формулировка Лагранжа (Total Lagrange – <b>TL</b> )	Напряжения Пиола-Кирхгофа 2-го рода, малые деформации Грина-Лагранжа (Second Piola-Kirchhoff stress, small Green-Lagrange strain)
		Модифицированная формулировка Лагранжа (Updated Lagrange – <b>UL</b> )	Напряжения Эйлера-Коши, малые деформации Альманси (Cauchy stress, small Almansi strain)
Большие параллельные перемещения, большие вращения и большие деформации	Параллельные перемещения и вращения волокон являются большими; удлинение волокон и угловые изменения между волокнами также являются большими, соотношения „напряжения-деформации” могут быть линейными или нелинейными	Полная формулировка Лагранжа (Total Lagrange – <b>TL</b> )	Напряжения Пиола-Кирхгофа 2-го рода, деформации Грина-Лагранжа (Second Piola-Kirchhoff stress, large Green-Lagrange strain)
		Модифицированная формулировка Лагранжа (Updated Lagrangian – <b>UL</b> )	Напряжения Эйлера-Коши, логарифмические деформации Генки (Cauchy stress, logarithmic strain Hencky)

Рассмотрим вопросы о деформациях Грина-Лагранжа и Генки, о тензоре Эйлера-Коши и втором тензоре напряжений Пиола-Кирхгофа, а также об определяющих уравнениях, которые будут использоваться при формулировании постановок краевых задач.

## Пб.2 Основные определения и соотношения, необходимые для формулирования алгоритмов решения геометрически нелинейных краевых задач

Постановка краевой задачи сделана в Разделе П5.1.

### Пб.2.1 Системы координат. Метрический тензор

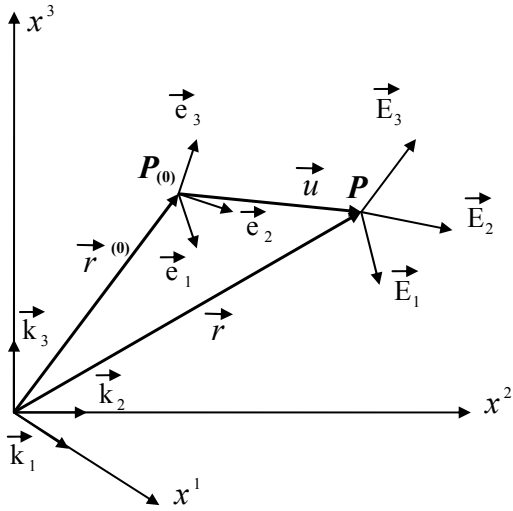
Системой отсчета  $\mathcal{R}$  называют совокупность по крайней мере 4-х точек, не лежащих в одной плоскости. Очевидно, что ее геометрия может быть и евклидовой.

В общем случае для описания состояния тела обычно вводят несколько координатных систем. Введем такие системы с ортогональными базисами (см. рис.Пб.1):

- глобальную неподвижную декартову систему координат с базисом  $\vec{k}_i$ , осями  $x^i$ ;  $i = 1, 2, 3$  и точкой  $M^0$ , в которой помещается начало системы. Любую точку  $P_{(0)}$  задает вектор  $\vec{r}^{(0)}$ , проведенный к ней из начала координат с базисом  $\vec{k}_i$ ;

- глобальную неподвижную, в общем случае криволинейную систему координат с базисом  $\vec{e}_i$  и координатными линиями  $a^i = a^i(x^j)$ ;  $i, j = 1, 2, 3$ . Обычно она тоже имеет начало в

точке  $M^0$ , но это не является обязательным. Базис  $\vec{e}_i$  может совпадать с базисом  $\vec{k}_i$ . Условие  $a^i = const; i = 1, 2, 3$  задает *координатную поверхность*. Две координатные поверхности  $a^i$  и  $a^j$  пересекаются (при  $i \neq j$ ). Линия их пересечения называется *координатной линией*, она соответствует третьей координате  $a^k$ ;



**Рис.П6.1. Координатные системы**

Эти три вектора основного базиса являются касательными к координатным линиям в точке  $M^0$ , которая определяет начало координатной системы.

Если координатная система  $a^i = x, y, z$ , т.е. является декартовой (ДСК), то все модули  $|\vec{e}_i| = 1$ .

Девять величин  $g_{ij} = (\vec{e}_i, \vec{e}_j) = \vec{e}_i \cdot \vec{e}_j = \frac{\partial \vec{r}^{(0)}}{\partial a^i} \cdot \frac{\partial \vec{r}^{(0)}}{\partial a^j}$  называют ковариантными компонентами симметричного метрического тензора. В ДСК

$$(g_{ij})_{ДСК} = \begin{pmatrix} 1 & 0 & 0 \\ 0 & 1 & 0 \\ 0 & 0 & 1 \end{pmatrix} = (\delta_{ij}). \tag{П6.2}$$

Здесь и всюду ниже в тексте  $\delta_{ij}$  – символ Кронекера.

В точке  $M^0$  начала координатной системы, наряду с основным, вводится взаимный базис  $\vec{e}^i$  таким образом, чтобы  $\vec{e}^i \cdot \vec{e}_j = \delta_j^i = \delta_{ij}$  (векторы  $\vec{e}_i$  указывают направление координатных линий, а векторы  $\vec{e}^i$  – перпендикулярны к координатным поверхностям). Аналогично  $g_{ij}$  вводится контравариантный симметричный метрический тензор с компонентами  $g^{ij} = \vec{e}^i \cdot \vec{e}^j$ . Тогда

$$(g_{ij})(g^{jk}) = (g_{ij} \cdot g^{jk}) = \delta_i^k; \quad (g^{ij}) = (g_{ij})^{-1}; \quad \vec{e}^i = g^{ij} \vec{e}_j; \quad \vec{e}_i = g_{ij} \vec{e}^j. \tag{П6.3}$$

С учетом (П6.2) и (П6.3)

$$(g^{ij})_{ДСК} = (g_{ij})_{ДСК} = \delta_{ij}. \tag{П6.4}$$

Для удобства, в частности, чтобы метрика пространства не присутствовала в физических уравнениях, вводится локальный ортонормированный „физический” (местный) базис  $\vec{b}_i$ , т.е. такой, чтобы все три  $|\vec{b}_i| = 1$ . Этого можно достичь, если взять  $\vec{b}_i$  в следующем виде (под радикалом здесь не суммировать):

$$\vec{b}_i = \vec{e}_i / \sqrt{g_{ii}} = \sqrt{g^{ii}} \vec{e}_i. \tag{П6.5}$$

• локальную „вмороженную”, в общем случае криволинейную не ортогональную, систему координат с базисом  $\vec{E}_i$ , которая сопровождает каждую материальную точку тела, на текущее положение которой указывает вектор  $\vec{r} = \vec{r}(a^1, a^2, a^3, t)$ , проведенный к ней из начала координат, в котором принимают  $\vec{r} = \vec{0}$  (это всегда можно сделать путем параллельного переноса).

Три вектора базиса  $\vec{e}_i$ , который называется основным, задаются как

$$\vec{e}_i = \lim_{\Delta a^i \rightarrow 0} \frac{\Delta \vec{r}^{(0)}}{\Delta a^i} = \frac{\partial \vec{r}^{(0)}}{\partial a^i}. \tag{П6.1}$$

Из (П6.2), (П6.4) и (П6.5) следует, что в ДСК основной, взаимный и „физический” базисы совпадают, чего нельзя сказать о других, где базисах обычно различные.

**Примечание П6.1.** Величина  $\sqrt{g_{ii}} = |\vec{e}_i|$ , т.е. является модулем соответствующего базисного вектора. Поэтому еще один вариант определения базисных векторов:  $\vec{e}_i = \sqrt{g_{ii}} \vec{b}_i$ .

Любой вектор  $\vec{F}$  в основном, взаимном и „физическом” базисах имеет компоненты  $F^i, F_i, \vec{F}_i$  соответственно. Он выражается как

$$\vec{F} = F^i \vec{e}_i = F_i \vec{e}^i = \vec{F}_i \vec{b}_i. \quad (\text{П6.6})$$

Из (П6.6) с учетом преобразований (П6.3) и (П6.5)

$$F_j = F^i g_{ij}; \quad F^j = F_i g^{ij}; \quad \vec{F}_j = F^j \sqrt{g_{ij}}. \quad (\text{П6.7})$$

Поэтому и координатный вектор  $\vec{r}$  точки  $M$ , проведенный к ней из начала координат, можно записать как

$$\vec{r} = a^i \vec{e}_i = a_i \vec{e}^i = \vec{a}_i \vec{b}_i. \quad (\text{П6.8})$$

Произвольный тензор второго ранга  $\vec{\sigma}$  в основном, взаимном и „физическом” базисах определяется как:

$$\vec{\sigma} = \sigma^{ij} \vec{e}_i \vec{e}_j = \sigma_{ij} \vec{e}^i \vec{e}^j = \check{\sigma}_{ij} \vec{b}_i \vec{b}_j, \quad (\text{П6.9})$$

где  $\sigma_{ij}, \sigma^{ij}$  – компоненты тензора  $\vec{\sigma}$  (строго говоря, компоненты  $\check{\sigma}_{ij}$  могут не создавать тензор, поскольку могут не подчиняться правилам перерасчета тензора при вращении системы координат. Это характерно для координатных систем, в которых не все  $\sqrt{g_{ii}} = 1$ , т.е. к ДСК не относится). Из (П6.9) с учетом преобразований (П6.3) и (П6.5) получим (под радикалом здесь не суммировать):

$$\sigma^{ij} = \sigma_{mn} g^{im} g^{jn}; \quad \sigma_{ij} = \sigma^{mn} g_{im} g_{jn}; \quad \check{\sigma}_{ij} = \sigma^{ij} \sqrt{g_{ii}} / g^{jj} = \sigma_{mn} g^{im} g^{jn} \sqrt{g_{ii}} / g^{jj}. \quad (\text{П6.10})$$

По определению, квадрат линейного элемента  $ds^2 = d\vec{a} \cdot d\vec{a} = da^i \vec{e}_i \cdot da_j \vec{e}^j = g_{ij} da^i da^j = g^{ij} da_i da_j$ . Еще одна характеристика:

$$\sqrt{g} = \sqrt{g_{11} g_{22} g_{33}} = \sqrt{\det |g_{ij}|} = \vec{e}_1 \cdot (\vec{e}_2 \times \vec{e}_3) = \vec{e}_2 \cdot (\vec{e}_3 \times \vec{e}_1) = \vec{e}_3 \cdot (\vec{e}_1 \times \vec{e}_2). \quad (\text{П6.11})$$

В частности, для ДСК  $\det |g_{ij}| = 1$ .

### П6.2.2 Тензор деформаций Грина-Лагранжа

Обозначим начальную конфигурацию тела как  $C_0$  с координатным вектором  $\vec{r}^{(0)}$  к точке  $P_{(0)}$ , а текущую –  $C$  с координатным вектором  $\vec{r}$  к точке  $P$  (см. рис.П6.1). В соответствии с (П6.1) в начальном состоянии:

$$\vec{e}_i = \frac{\partial \vec{r}^{(0)}}{\partial a^i}; \quad \vec{e}^j = \frac{\partial \vec{r}^{(0)}}{\partial a_j}; \quad d\vec{r}^{(0)} = da^i \vec{e}_i = da_j \vec{e}^j. \quad (\text{П6.12})$$

В текущем состоянии введем локальный „вмороженный” сдеформированный базис

$$\vec{E}_i = \frac{\partial \vec{r}}{\partial a^i}; \quad \vec{E}^j = \frac{\partial \vec{r}}{\partial a_j} = C^{jj} \vec{E}_i; \quad d\vec{r} = da^i \vec{E}_i = da_j \vec{E}^j \quad (\text{П6.13})$$

(о  $C^{jj}$  – ниже). Тогда квадраты длины линейного элемента, который связывает две бесконечно близкие материальные точки, до и после деформирования, соответственно:

$$(d\vec{r}^{(0)})^2 = d\vec{r}^{(0)} \cdot d\vec{r}^{(0)} = da^i \vec{e}_i \cdot da_j \vec{e}^j = da^i da_j \delta_i^j = da^i da_i = da^i g_{ij} da^j = g_{ij} da^i da^j; \quad (\text{П6.14})$$

$$(d\vec{r})^2 = d\vec{r} \cdot d\vec{r} = da^i \vec{E}_i \cdot da_j \vec{E}^j = E_i^j da^i da_j = C_{ij} da^i da^j = C^{ij} da_i da_j. \quad (\text{П6.15})$$

По определению, выражение

$$(d\vec{r})^2 - (d\vec{r}^{(0)})^2 \equiv 2 \epsilon_{ij} da^i da^j \quad (\text{П6.16})$$

является мерой деформации в точке тела относительно *начальной* конфигурации, где  $\epsilon_{ij}$  – компоненты тензора деформаций (деформацию можно рассматривать и относительно любой другой конфигурации, но для **ТЛ**-формулировки нужна деформация именно относительно начальной конфигурации).

Если во всем теле  $(d\vec{r})^2 - (d\vec{r}^{(0)})^2 = 0$ , то движение тела – *абсолютно жесткое*. Иначе тело находится в *сдеформированном состоянии*.

Подставим (П6.14) и (П6.15) в (П6.16):

$$2\epsilon_{ij} da^i da^j = C_{ij} da^i da^j - g_{ij} da^i da^j = (C_{ij} - g_{ij}) da^i da^j. \quad (\text{П6.17})$$

Из (П6.17) следует, что *текущие* компоненты симметричного тензора деформации Грина–Лагранжа (относительно *начальной* конфигурации):

$$\epsilon_{ij} = 0.5(C_{ij} - g_{ij}), \quad (\text{П6.18-а})$$

или через компоненты вектора перемещений:

$$\epsilon_{ij} = 0.5(\nabla_j U_i + \nabla_i U_j + \nabla_i U_k \nabla_j U^k); \quad i, j, k = 1, 2, 3. \quad (\text{П6.19})$$

где обозначено

$$\nabla_i U_k = \frac{\partial U_k}{\partial a^i} - U_m \Gamma_{ik}^m; \quad \nabla_j U^k = \frac{\partial U^k}{\partial a^j} + U^m \Gamma_{jm}^k; \quad (\text{П6.20})$$

$\Gamma_{ij}^m$  – символы Кристоффеля второго рода, которые симметричны по нижним индексам и являются компонентами разложения  $\partial \vec{e}_j / \partial a^i$  по исходному базису  $\vec{e}_m$ ; выражаются формулой

$$\Gamma_{mi}^j = \Gamma_{im}^j = \frac{1}{2} g^{jn} \left( \frac{\partial g_{mn}}{\partial a^i} + \frac{\partial g_{in}}{\partial a^m} - \frac{\partial g_{mi}}{\partial a^n} \right). \quad (\text{П6.21})$$

Первый вектор из (П6.13)

$$\vec{E}_i = \frac{\partial \vec{r}}{\partial a^i} = \frac{\partial x^j}{\partial a^i} \vec{e}_j = \frac{\partial(\vec{a} + \vec{U})}{\partial a^i} = \vec{e}_i + \frac{\partial \vec{U}}{\partial a^i} = \frac{\partial(a^j + U^j)}{\partial a^i} \vec{e}_j = (\delta_i^j + \nabla_i U^j) \vec{e}_j = X_i^j \vec{e}_j, \quad (\text{П6.22})$$

называется *градиентом деформаций* и определяет сдеформированные координатные оси локальной конвекционной („вмороженной“) системы координат с базисом  $\vec{E}_i$ .

Компоненты тензора меры деформации Коши-Грина

$$C_{ij} = X_i^k X_j^k = \frac{\partial x^k}{\partial a^i} \frac{\partial x^k}{\partial a^j}, \quad \text{где } X_i^k = \frac{\partial x^k}{\partial a^i} = (\delta_i^k + \nabla_i U^k), \quad (\text{П6.23})$$

$x^i = x^i(a^j, t)$  – текущие координаты точки;  $x^i(a^j, 0) = a^i$  – начальные координаты точки;  $i, j = 1, 2, 3$ .

Представим (П6.18-а) в матричном виде:

$$[\epsilon] = 0.5([C] - [g]), \quad (\text{П6.18-б})$$

где матрицы

$$[\epsilon] = \begin{bmatrix} \epsilon_{11}; & \epsilon_{12}; & \epsilon_{13} \\ & \epsilon_{22}; & \epsilon_{23} \\ \text{symm} & & \epsilon_{33} \end{bmatrix}; \quad [g] = \begin{bmatrix} g_{11} & 0 & 0 \\ 0 & g_{22} & 0 \\ 0 & 0 & g_{33} \end{bmatrix}; \quad (\text{П6.24})$$

$$[C] = [X]^T [X]. \quad (\text{П6.25})$$

Матрица  $[X]$  отображает градиенты деформаций  $X_i^k$  (см. формулу (П6.23)), поэтому имеет такое наполнение (обозначено  $h_{ij} = \partial U_i / \partial a^j$ ):

$$[X] = \begin{bmatrix} X_{11}; & X_{12}; & X_{13} \\ X_{21}; & X_{22}; & X_{23} \\ X_{31}; & X_{32}; & X_{33} \end{bmatrix} = \begin{bmatrix} 1+h_{11}; & h_{12}; & h_{13} \\ h_{21}; & 1+h_{22}; & h_{23} \\ h_{31}; & h_{32}; & 1+h_{33} \end{bmatrix}. \quad (\text{П6.26})$$

Тогда матрица

$$[C] = \begin{bmatrix} c_{11}; & c_{21}; & c_{31} \\ & c_{22}; & c_{32} \\ \text{symm} & & c_{33} \end{bmatrix} = [X]^T [X] = \begin{bmatrix} X_{11}; & X_{21}; & X_{31} \\ X_{12}; & X_{22}; & X_{32} \\ X_{13}; & X_{23}; & X_{33} \end{bmatrix} \begin{bmatrix} X_{11}; & X_{12}; & X_{13} \\ X_{21}; & X_{22}; & X_{23} \\ X_{31}; & X_{32}; & X_{33} \end{bmatrix} =$$

$$= \begin{bmatrix} (X_{11})^2 + (X_{21})^2 + (X_{31})^2; & X_{11}X_{12} + X_{21}X_{22} + X_{31}X_{32}; & X_{11}X_{13} + X_{21}X_{23} + X_{31}X_{33} \\ & (X_{12})^2 + (X_{22})^2 + (X_{32})^2; & X_{12}X_{13} + X_{22}X_{23} + X_{32}X_{33} \\ & \text{symm} & (X_{13})^2 + (X_{23})^2 + (X_{33})^2 \end{bmatrix}. \quad (\text{П6.27})$$

**Примечание П6.2.** Для вычисления компонент  $\epsilon_{ij}$  чаще используют именно формулы (П6.18), которые в случае известных компонент  $C_{ij}$  имеют значительно меньше действий, чем формулы (П6.19).

### П6.2.3 О мерах тензоров напряжений

При наличии геометрической нелинейности могут использоваться несколько мер (разновидностей) тензоров напряжений.

По определению Эйлера (1707... 1783 гг) и Коши (1789 ... 1857 гг), напряжение – это внутренняя сила, действующая на элементарной площадке и отнесенная к ее площади при условии стремления этой площади к нулю.

Результирующий вектор напряжений на элементарной площадке  $dS_1$ , которая перпендикулярна  $\vec{e}_1$ , обозначим как  $\vec{\sigma}^1 dS_1$ , где  $\vec{\sigma}^1$  – вектор напряжений на единице площади  $dS_1$ . Аналогично вводятся векторы напряжений  $\vec{\sigma}^2$  и  $\vec{\sigma}^3$ . Компоненты векторов  $\vec{\sigma}^m$  в основном базисе  $\vec{e}_n$ , а именно  $\sigma^{mn}$ , называются контравариантными компонентами симметричного тензора напряжений Эйлера-Коши (Эйлера, Коши):

$$\vec{\sigma}^m = \sigma^{mn} \vec{e}_n. \quad (\text{П6.28})$$

То есть этот тензор содержит такие напряжения: нормальные к элементарным площадкам  $\sigma^{mn}$ ;  $m = n = 1, 2, 3$ , и касательные к ним  $\sigma^{mn} = \sigma^{nm}$ ;  $m \neq n$ ;  $m, n = 1, 2, 3$ . Первый индекс указывает, перпендикулярно к какой оси  $\vec{e}_m$  расположена элементарная площадка, а второй – направление напряжения, т.е. вдоль какой оси  $\vec{e}_n$  направлена компонента тензора напряжений. Подчеркнем, что не всегда направления определяет исходный глобальный базис  $\vec{e}_m$ . Есть случаи, когда направление компонент напряжений определяет исходный локальный базис, например, в пластинах и оболочках исходный вектор  $\vec{e}_3$  обычно перпендикулярен центральной поверхности; в стрелях – параллелен продольной оси.

В каждой точке наклонной площадки  $dS$ , внешняя нормаль к которой  $\vec{\nu}$  имеет компоненты  $\nu_m$ , результирующий вектор напряжений

$$\vec{\sigma} = \vec{\sigma}^m \nu_m = \sigma^{mn} \vec{e}_n \nu_m. \quad (\text{П6.29})$$

Компоненты векторов  $\vec{\sigma}^m$  в деформированном базисе  $\vec{E}_n$ , а именно  $\tilde{\sigma}^{mn}$ , называются (контравариантными) компонентами симметричного второго тензора напряжений Пиола (1836) – Кирхгофа (1850):

$$\vec{\sigma}^m = \tilde{\sigma}^{mn} \vec{E}_n. \quad (\text{П6.30})$$

В каждой точке наклонной площадки  $dS$ , внешняя нормаль к которой  $\vec{\nu}$  имеет компоненты  $\nu_m$ , результирующий вектор напряжений

$$\vec{\sigma} = \tilde{\sigma}^m \nu_m = \tilde{\sigma}^{mn} \vec{E}_n \nu_m. \quad (\text{П6.31})$$

Но, поскольку при деформировании базис  $\vec{E}_n$  обычно не является ортогональным, то  $\tilde{\sigma}$  с его компонентами применяют лишь как некоторую расчетную (вспомогательную) дефиницию. Поскольку в разных точках деформированного тела направления локального сдефор-

мированного базиса  $\vec{E}_n$  относительно осей  $\vec{e}_n$  будут разными, то результаты расчетов есть смысл представлять относительно осей  $\vec{e}_n$ , т.е. относительно известных начальных направлений. Именно поэтому перед представлением результатов расчетов, а именно напряжений, нужно перейти к тензору Эйлера-Коши.

Но это еще не все. Поскольку, как об этом говорилось в Разделе П6.1, на момент вычисления компонент САУ текущая геометрия тела не определена, то приходится использовать опорную конфигурацию. В случае **ТЛ**-формулировки, которую мы рассматриваем, опорной конфигурацией является *исходная* конфигурация.

Симметричный *второй тензор напряжений Пиола-Кирхгофа*  $(\sigma^{mn})_0$  на поверхности начальной конфигурации  $(dS)_0$  создает результирующий вектор напряжений

$$(\vec{\sigma})_0 = (\sigma^{mn})_0 \vec{E}_n(v_m)_0, \quad (\text{П6.32})$$

причем рассматривается именно та поверхность  $(dS)_0$ , которая превратилась при деформировании в поверхность  $dS$ .

Компоненты векторов  $(\vec{T}^m)_0$  в *основном* базисе  $\vec{e}_n$ , а именно  $(T^{mn})_0$ , называются (контравариантными) компонентами несимметричного *первого тензора напряжений Пиола-Кирхгофа*:

$$(\vec{T}^m)_0 = (T^{mn})_0 \vec{e}_n. \quad (\text{П6.33})$$

Его определяют путем проектирования компонент тензора Эйлера-Коши к *начальной* геометрии с *полным* учетом изменений элементарной площадки: как ее размера, так и ориентации. Поэтому в каждой точке поверхности  $(dS)_0$  он создает результирующий вектор напряжений

$$(\vec{T})_0 = (T^{mn})_0 \vec{e}_n(v_m)_0. \quad (\text{П6.34})$$

В дальнейшем 1-й  $(T^{mn})_0$  и 2-й  $(\sigma^{mn})_0$  тензоры напряжений Пиола-Кирхгофа, для краткости, будем называть аббревиатурами ТН1ПК и ТН2ПК соответственно.

Есть и другие тензоры напряжений, но для **ТЛ**-формулировки они не применяются, поэтому здесь не рассматриваются.

Между всеми видами тензоров напряжений существуют однозначные преобразования.

**Примечание П6.3.** В литературе довольно часто индексы, которые обозначают „привязку” величины к *этапу нагружения*, указывают *левым верхним* индексом, а к *базовой* конфигурации – *левым нижним* индексом. Например,  ${}^{n+1}_0 A^{im} {}^{n+1}_0 v_m$  – компоненты некоторого вектора, которые определены для  $(n+1)$ -го этапа на основе исходной конфигурации. Но, когда таких меток много, то с непривычки формулы читаются тяжело. Именно поэтому в дальнейшем тексте мы их применять не будем.

#### П6.2.4 Соотношение между компонентами первого и второго тензоров напряжений Пиола-Кирхгофа в начальной конфигурации

Соотношение между компонентами  $(\vec{T})_0$  и  $(\vec{\sigma})_0$  получим из условия  $(\vec{T})_0 = (\vec{\sigma})_0$ . С учетом (П6.32) и (П6.34):

$$(T^{mn})_0 \vec{e}_n(v_m)_0 = (\sigma^{mn})_0 \vec{E}_n(v_m)_0. \quad (\text{П6.35})$$

Согласно (П6.22)  $\vec{E}_n = \partial \vec{x} / \partial a^n = \nabla_n x^i \vec{e}_i = X_n^i \vec{e}_i$ . Поэтому из (П6.35)

$$(T^{mn})_0 \vec{e}_n(v_m)_0 = (\sigma^{mn})_0 X_n^i \vec{e}_i(v_m)_0. \quad (\text{П6.36})$$

Заменим в левой части последней формулы „слепой” индекс  $n$  на индекс  $i$ :

$$(T^{mi})_0 \vec{e}_i(v_m)_0 = (\sigma^{mn})_0 X_n^i \vec{e}_i(v_m)_0 \quad \text{или} \quad ((T^{mi})_0 - (\sigma^{mn})_0 X_n^i) \vec{e}_i(v_m)_0 = \vec{0}. \quad (\text{П6.37})$$

Это равенство справедливо при любых  $\vec{e}_i(v_m)_0$ . Поэтому окончательно получим, что соотношение между компонентами тензоров  $(\vec{T})_0$  и  $(\vec{\sigma})_0$ :

$$(T^{mi})_0 = (\sigma^{mn})_0 X_n^i. \quad (\text{П6.38-а})$$

Для получения соотношения между компонентами тензоров  $(\vec{T})_0$  и  $(\vec{\sigma})_0$  с компонентами тензора Эйлера-Коши  $\vec{\sigma}$  необходимо сначала рассмотреть некоторые другие вопросы.

### П6.2.5 Символы Леви-Чивита

Учтем, что результатом векторного произведения двух векторов  $\vec{a}$  и  $\vec{b}$  является новый вектор  $\vec{c} = \vec{a} \times \vec{b}$ , который перпендикулярен до обоих векторов  $\vec{a}$  и  $\vec{b}$ , и имеет модуль  $|\vec{c}| = |\vec{a}| |\vec{b}| \sin \alpha$ , где  $\alpha$  является углом между векторами  $\vec{a}$  и  $\vec{b}$ . Поэтому  $\vec{c} = \vec{a} \times \vec{a} = \vec{0}$ . Еще известно, что  $\vec{a} \times \vec{b} = -\vec{b} \times \vec{a}$ . Поэтому  $\vec{a}_m \times \vec{a}_n = (\vec{a}_1 \times \vec{a}_2 - \vec{a}_2 \times \vec{a}_1) + (\vec{a}_2 \times \vec{a}_3 - \vec{a}_3 \times \vec{a}_2) + (\vec{a}_3 \times \vec{a}_1 - \vec{a}_1 \times \vec{a}_3)$  при  $m, n = 1, 2, 3$ . Кроме того, для трех ортогональных векторов основного базиса:  $\vec{e}_1 \cdot (\vec{e}_2 \times \vec{e}_3) = \vec{e}_2 \cdot (\vec{e}_3 \times \vec{e}_1) = \vec{e}_3 \cdot (\vec{e}_1 \times \vec{e}_2) = \sqrt{g}$ ;  $\vec{e}_1 \cdot (\vec{e}_3 \times \vec{e}_2) = \vec{e}_2 \cdot (\vec{e}_1 \times \vec{e}_3) = \vec{e}_3 \cdot (\vec{e}_2 \times \vec{e}_1) = -\sqrt{g}$ ;  $\vec{e}_1 \cdot (\vec{e}_1 \times \vec{e}_2) = \vec{e}_1 \cdot (\vec{e}_1 \times \vec{e}_3) = \vec{e}_2 \cdot (\vec{e}_2 \times \vec{e}_1) = \vec{e}_2 \cdot (\vec{e}_2 \times \vec{e}_3) = \vec{e}_3 \cdot (\vec{e}_3 \times \vec{e}_1) = \vec{e}_3 \cdot (\vec{e}_3 \times \vec{e}_2) = 0$ .

Эти и аналогичные факты обычно описывают с помощью символов Леви-Чивита  $E^{ijk} = E_{ijk}$  (тензор эти компоненты не создают):

$$E_{ijk} = \begin{cases} 1; & \text{прямая круговая перестановка значений индексов;} \\ -1; & \text{обратная круговая перестановка значений индексов;} \\ 0; & \text{наличие двух или трех одинаковых индексов.} \end{cases} \quad (\text{П6.39})$$

Тогда вместо многих выражений имеем лишь одно:

$$\vec{e}_i \cdot (\vec{e}_j \times \vec{e}_k) = E_{ijk} \sqrt{g} = \mathcal{E}_{ijk}. \quad (\text{П6.40})$$

Если базис декартовый, то  $\sqrt{g} = 1$  и  $\mathcal{E}_{ijk} = E_{ijk}$ .

В общем случае, если некоторая матрица  $A_n^k$  является матрицей перехода от одной координатной системы к другой, то

$$E_{qmn} \det \|A\| = E_{ijk} A_q^i A_m^j A_n^k. \quad (\text{П6.41})$$

В качестве компонент матрицы  $A_n^k$  можно взять, согласно (П6.22), компоненты  $X_n^k = \partial x^k / \partial a^n$ . Тогда в соответствии с (П6.41)

$$E_{qmn} \det \left| \frac{\partial x^k}{\partial a^n} \right| = E_{qmn} \det |X_n^k| = E_{qmn} \sqrt{G} = E_{qmn} J = E_{ijk} \frac{\partial x^i}{\partial a^q} \frac{\partial x^j}{\partial a^m} \frac{\partial x^k}{\partial a^n}. \quad (\text{П6.42})$$

Здесь обозначено

$$\sqrt{G} = \det |X_n^k| = \sqrt{\det C_{ij}} = J. \quad (\text{П6.43})$$

### П6.2.6 Изменение элементарного объема при деформировании

Сначала отметим, что, согласно (П6.13) и, соответственно, из (П6.14) и (П6.22):

$$d\vec{r}^{(0)} = \vec{e}_i da^i = \vec{e}_1 da^1 + \vec{e}_2 da^2 + \vec{e}_3 da^3, \quad (\text{П6.44})$$

$$d\vec{r} = \vec{E}_i da^i = \vec{E}_1 da^1 + \vec{E}_2 da^2 + \vec{E}_3 da^3, \quad (\text{П6.45})$$

т.е. отдельные векторы  $\vec{e}_i da^i$  определяют длины сторон элементарного параллелепипеда до его деформирования, а  $\vec{E}_i da^i$  – после его деформирования. Кроме того, для трех ортогональных векторов основного и совместного базиса:

$$\vec{e}_i \times \vec{e}_j = \vec{e}^k \sqrt{g}; \quad i \neq j \neq k \neq i = 1, 2, 3. \quad (\text{П6.46})$$



В соответствии с (П6.46) и соотношением  $\bar{e}_i \cdot \bar{e}^j = \delta_i^j$  (см. Раздел П6.2.1) начальная величина элементарного объема (см. также (П6.11)):

$$(d\Omega)_0 = (\bar{e}_1 da^1) \cdot ((\bar{e}_2 da^2) \times (\bar{e}_3 da^3)) = \bar{e}_1 \cdot (\bar{e}_2 \times \bar{e}_3) da^1 da^2 da^3 = \sqrt{g} da^1 da^2 da^3. \quad (\text{П6.47})$$

После деформирования элементарного объема, с учетом Раздела П6.2.4, формулы (П6.46) и  $\bar{e}_i \cdot \bar{e}^j = \delta_i^j$ :

$$\begin{aligned} d\Omega &= (\bar{E}_1 da^1) \cdot ((\bar{E}_2 da^2) \times (\bar{E}_3 da^3)) = \bar{E}_1 \cdot (\bar{E}_2 \times \bar{E}_3) da^1 da^2 da^3 = \\ &= X_1^m \bar{e}_m \cdot (X_2^n \bar{e}_n \times X_3^k \bar{e}_k) da^1 da^2 da^3 = X_1^m \bar{e}_m \cdot \left[ (X_2^1 X_3^2 - X_2^2 X_3^1) (\bar{e}_1 \times \bar{e}_2) + \right. \\ &\quad \left. + (X_2^2 X_3^3 - X_2^3 X_3^2) (\bar{e}_2 \times \bar{e}_3) + (X_2^3 X_3^1 - X_2^1 X_3^3) (\bar{e}_3 \times \bar{e}_1) \right] da^1 da^2 da^3 = \\ &= X_1^m \bar{e}_m \cdot \left[ (X_2^1 X_3^2 - X_2^2 X_3^1) \sqrt{g} \bar{e}^3 + (X_2^2 X_3^3 - X_2^3 X_3^2) \sqrt{g} \bar{e}^1 + \right. \\ &\quad \left. + (X_2^3 X_3^1 - X_2^1 X_3^3) \sqrt{g} \bar{e}^2 \right] da^1 da^2 da^3 = \\ &= \left[ X_1^3 \bar{e}_3 \cdot (X_2^1 X_3^2 - X_2^2 X_3^1) \bar{e}^3 + X_1^1 \bar{e}_1 \cdot (X_2^2 X_3^3 - X_2^3 X_3^2) \bar{e}^1 + \right. \\ &\quad \left. + X_1^2 \bar{e}_2 \cdot (X_2^3 X_3^1 - X_2^1 X_3^3) \bar{e}^2 \right] \sqrt{g} da^1 da^2 da^3 = \\ &= \left[ X_1^3 (X_2^1 X_3^2 - X_2^2 X_3^1) + X_1^1 (X_2^2 X_3^3 - X_2^3 X_3^2) + \right. \\ &\quad \left. + X_1^2 (X_2^3 X_3^1 - X_2^1 X_3^3) \right] \sqrt{g} da^1 da^2 da^3 = \det |X_n^m| \sqrt{g} da^1 da^2 da^3. \quad (\text{П6.48}) \end{aligned}$$

Учтено, что выражение в квадратных скобках является выражением для детерминанта матрицы  $[X]$ , собранной из компонент тензора  $X_n^m$ .

Поэтому, с учетом (П6.43) и (П6.47)

$$d\Omega = \sqrt{G} \sqrt{g} da^1 da^2 da^3 = \sqrt{G} (d\Omega)_0 = J \cdot (d\Omega)_0. \quad (\text{П6.49})$$

Итак, величина  $\sqrt{G} = J$  определяет масштаб в изменении элементарного объема.

### П6.2.7 Следствие из закона сохранения массы тела

В соответствии с законом сохранения массы, масса  $m$  объема при его деформировании является неизменной, т.е. для любого объема

$$m = \int_{\Omega} \bar{\rho}(\bar{x}, t) d\Omega = \int_{\Omega_0} \bar{\rho}(\bar{a}, t_0) (d\Omega)_0 = m_0 = const, \quad (\text{П6.50})$$

где  $\bar{\rho}$  – плотность материала. Обозначим  $\bar{\rho}_0 = \bar{\rho}(\bar{a}, t_0)$ ,  $\bar{\rho} = \bar{\rho}(\bar{x}, t)$ . Поскольку в (П6.50) объем является произвольным, то и для элементарного объема:

$$dm = \bar{\rho} d\Omega = \bar{\rho}_0 (d\Omega)_0 = (dm)_0 = const. \quad (\text{П6.51})$$

Учитывая (П6.49), получим, что

$$\bar{\rho} \sqrt{G} = \bar{\rho} J = \bar{\rho}_0, \quad \text{или} \quad \bar{\rho}_0 / \bar{\rho} = \sqrt{G} = J. \quad (\text{П6.52})$$

Итак, величина  $\sqrt{G} = J$  еще определяет пропорцию в изменении плотности материала при условии сохранения массы тела.

### П6.2.8 Формула Нансона

Эта формула связывает площади и ориентации элементарных поверхностей: начальной  $(dS)_0$  и деформированной  $dS$  (на рис.П6.2 поверхности  $ABC$  по левую сторону и по правую сторону соответственно).

Будем считать, что система координат с ортами  $\bar{e}_i$ ;  $i = 1, 2, 3$  является декартовой.

Сначала рассмотрим элементарную площадку  $ABC$  с площадью  $(dS)_0$  (см. рис.П6.2, по левую сторону). Рассмотрим два вектора, которые принадлежат этой площадке и выходят из одного угла, например, из  $A$ :

$$\begin{aligned} \overline{AB} &= (d\vec{a})_{AB} = \vec{e}_1(da^1)_{AB} + \vec{e}_2(da^2)_{AB} + \vec{e}_3(da^3)_{AB} = \vec{e}_j(da^j)_{AB}; \\ \overline{AC} &= (d\vec{a})_{AC} = \vec{e}_1(da^1)_{AC} + \vec{e}_2(da^2)_{AC} + \vec{e}_3(da^3)_{AC} = \vec{e}_k(da^k)_{AC}; \quad j, k = 1, 2, 3. \end{aligned} \quad (\text{П6.53})$$

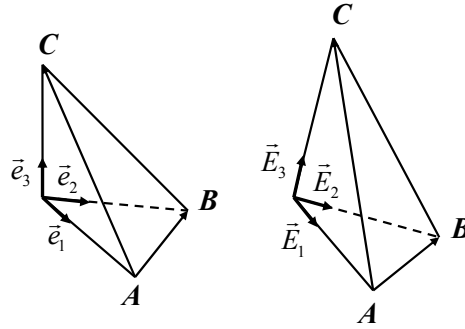


Рис.П6.2. К выводу формулы Нансона

Известно, что векторное произведение таких векторов определяет удвоенную площадь площадки  $ABC$ , а также направление нормали к ней:

$$(d\vec{a})_{AB} \times (d\vec{a})_{AC} = 2(\vec{v})_0(dS)_0. \quad (\text{П6.54})$$

Вектор  $(\vec{v})_0$  внешней нормали к поверхности площадки  $ABC$  в точке  $A$  определим как

$$(\vec{v})_0 = \vec{e}^1(v_1)_0 + \vec{e}^2(v_2)_0 + \vec{e}^3(v_3)_0 = \vec{e}^n(v_n)_0; \quad n = 1, 2, 3. \quad (\text{П6.55})$$

Если (П6.55) скалярным образом умножить на  $\vec{e}_i$ , то, с учетом  $\vec{e}_i \cdot \vec{e}^n = \vec{e}^n \cdot \vec{e}_i = \delta_i^n$ , получим:

$$\vec{e}_i \cdot (\vec{v})_0 = \vec{e}_i \cdot \vec{e}^n(v_n)_0 = (v_i)_0. \quad (\text{П6.56})$$

Учитывая изложенное в Разделе П6.2.5 и (П6.53), запишем, что

$$\begin{aligned} \vec{e}_i \cdot ((d\vec{a})_{AB} \times (d\vec{a})_{AC}) &= \vec{e}_i \cdot \left( (\vec{e}_1(da^1)_{AB} + \vec{e}_2(da^2)_{AB} + \vec{e}_3(da^3)_{AB}) \times \right. \\ &\left. \times (\vec{e}_1(da^1)_{AC} + \vec{e}_2(da^2)_{AC} + \vec{e}_3(da^3)_{AC}) \right) = \vec{e}_i \cdot (\vec{e}_j \times \vec{e}_k)(da^j)_{AB}(da^k)_{AC} = E_{ijk}(da^j)_{AB}(da^k)_{AC}. \end{aligned} \quad (\text{П6.57})$$

Итак, согласно (П6.54), (П6.56) и (П6.57):

$$E_{ijk}(da^j)_{AB}(da^k)_{AC} = \vec{e}_i \cdot 2(\vec{v})_0(dS)_0 = 2(v_i)_0(dS)_0 = 2(dS_i)_0 \quad (\text{П6.58})$$

или, с учетом (П6.40) при  $E_{123} = E_{231} = E_{312} = 1$ :

$$\begin{aligned} 2(v_1)_0(dS)_0 &= (da^2)_{AB}(da^3)_{AC}; \quad 2(v_2)_0(dS)_0 = (da^3)_{AB}(da^1)_{AC}; \\ 2(v_3)_0(dS)_0 &= (da^1)_{AB}(da^2)_{AC}. \end{aligned} \quad (\text{П6.59})$$

Также рассмотрим сдеформированную элементарную площадку  $ABC$  (см. рис.П6.2, по правую сторону) с площадью  $dS$ . После деформирования векторы  $(d\vec{a})_{AB}$  и  $(d\vec{a})_{AC}$  превратятся на векторы  $(d\vec{x})_{AB}$  и  $(d\vec{x})_{AC}$ . Можно записать аналогичные (П6.54) ... (П6.59) выражения, в частности, аналогично (П6.54), (П6.55), (П6.58) и (П6.59):

$$\overline{AB} \times \overline{AC} = (d\vec{x})_{AB} \times (d\vec{x})_{AC} = 2\vec{v}dS; \quad (\text{П6.60})$$

$$\vec{v} = \vec{e}^1v_1 + \vec{e}^2v_2 + \vec{e}^3v_3 = \vec{e}^nv_n; \quad n = 1, 2, 3; \quad (\text{П6.61})$$

$$E_{ijk}(dx^j)_{AB}(dx^k)_{AC} = \vec{e}_i \cdot 2\vec{v}dS = 2v_idS = 2dS_i; \quad (\text{П6.62})$$

$$\begin{aligned} 2v_1dS &= (dx^2)_{AB}(dx^3)_{AC}; \quad 2v_2dS = (dx^3)_{AB}(dx^1)_{AC}; \\ 2v_3dS &= (dx^1)_{AB}(dx^2)_{AC}. \end{aligned} \quad (\text{П6.63})$$

По определению, с учетом  $\partial x^j / \partial a^n = X_n^j$ :

$$(dx^j)_{AB} = \frac{\partial x^j}{\partial a^m}(da^m)_{AB} = X_m^j(da^m)_{AB}; \quad (dx^k)_{AC} = \frac{\partial x^k}{\partial a^n}(da^n)_{AC} = X_n^k(da^n)_{AC}, \quad (\text{П6.64})$$

поэтому из (П6.62)

$$2v_idS = 2dS_i = \vec{e}_i \cdot 2\vec{v}dS = E_{ijk}X_m^jX_n^k(da^m)_{AB}(da^n)_{AC}. \quad (\text{П6.65})$$

Умножим это выражение на  $\partial x^i / \partial a^q = X_q^i$ :

$$2X_q^i v_i dS = 2X_q^i dS_i = E_{ijk} X_q^i X_m^j X_n^k (da^m)_{AB} (da^n)_{AC}. \quad (П6.66)$$

Из (П6.66) с учетом (П6.42), (П6.40) и (П6.58):

$$2X_q^i v_i dS = 2X_q^i dS_i = J \cdot E_{qmn} (da^m)_{AB} (da^n)_{AC} = 2J \cdot (dS_q)_0 = 2J \cdot (v_q)_0 (dS)_0. \quad (П6.67)$$

Крайние выражения из (П6.67) создают формулу Нансона. А именно, после сокращения на двойку и очевидных замен индекса  $q$  на более привычный  $m$ :

$$X_m^i v_i dS = J \cdot (v_m)_0 (dS)_0; \quad i, m = 1, 2, 3. \quad (П6.68)$$

Еще одна форма записи формулы Нансона – матричная. С использованием матрицы  $[X]$ , введенной в (П6.26), вместо (П6.68) имеем формулу Нансона в матричной форме:

$$[X]^T \{v\} dS = J \cdot \{(v)_0\} (dS)_0, \quad (П6.69)$$

где обозначены векторы  $\{v\} = \{v_1, v_2, v_3\}^T$  и  $\{(v)_0\} = \{(v_1)_0, (v_2)_0, (v_3)_0\}^T$ , которые определяют нормали к поверхностям  $dS$  и соответственно  $(dS)_0$  относительно базиса  $\vec{e}^i$ .

### П6.2.9 Соотношения между компонентами первого и второго тензоров напряжений Пиола-Кирхгофа с компонентами тензора Эйлера-Коши

Согласно формулам (П6.29), (П6.32) и (П6.35), на поверхностях  $dS$  и  $(dS)_0$  тензоры  $\vec{\sigma}$  и  $(\vec{T})_0$  создают соответственно векторы внутренних усилий  $d\vec{F} = \sigma^{mn} \vec{e}_n v_m dS$  и  $(d\vec{F})_0 = (T^{mn})_0 \vec{e}_n (v_m)_0 (dS)_0$  с компонентами  $dF^n = \sigma^{mn} v_m dS$  и  $(dF^n)_0 = (T^{mn})_0 (v_m)_0 (dS)_0$ .

Далее удобно использовать матричные обозначения. Введем матрицы с компонентами тензоров напряжений:

$$[\sigma] = \begin{bmatrix} \sigma^{11}; & \tau^{12}; & \tau^{13} \\ & \sigma^{22}; & \tau^{23} \\ symm & & \sigma^{33} \end{bmatrix}; \quad [T]_0 = \begin{bmatrix} (T^{11})_0; & (T^{12})_0; & (T^{13})_0 \\ (T^{21})_0; & (T^{22})_0; & (T^{23})_0 \\ (T^{31})_0; & (T^{32})_0; & (T^{33})_0 \end{bmatrix}. \quad (П6.70)$$

Тогда выражения для  $d\vec{F}$  и  $(d\vec{F})_0$  будут иметь вид:

$$\{dF\} = \{dF^1, dF^2, dF^3\}^T = [\sigma]^T \{v\} dS; \quad \{(dF)_0\} = \{(dF^1)_0, (dF^2)_0, (dF^3)_0\}^T = [T]_0^T \{(v)_0\} (dS)_0. \quad (П6.71)$$

Поскольку ТН1ПК получено путем проектирования тензора Эйлера-Коши на исходную конфигурацию, то приравниваем компоненты этих векторов:

$$[\sigma]^T \{v\} dS = [T]_0^T \{(v)_0\} (dS)_0. \quad (П6.72)$$

Исключим из (П6.72)  $\{(v)_0\} (dS)_0$  с помощью формулы Нансона (П6.69):

$$J \cdot [\sigma]^T \{v\} dS = [T]_0^T [X]^T \{v\} dS. \quad (П6.73)$$

Это равенство справедливо при любых  $\{v\} dS$ . Поэтому, после отбрасывания  $\{v\} dS$  и транспонирования, получим соотношения между компонентами матриц  $[\sigma]$  и  $[T]_0$ :

$$J \cdot [\sigma] = [X][T]_0 \quad \text{или} \quad [T]_0 = J \cdot [X]^{-1} [\sigma]. \quad (П6.74-а)$$

В матричной форме соотношение (П6.38-а)  $(T^{mi})_0 = (\sigma^{mn})_0 X_n^i$  между компонентами тензоров  $(\vec{T})_0$  и  $(\vec{\sigma})_0$  будет иметь вид:

$$[T]_0 = [\sigma]_0 [X]^T \quad \text{или} \quad [\sigma]_0 = [T]_0 [X]^{-T}, \quad (П6.38-б)$$

где введена матрица ТН2ПК

$$[\sigma]_0 = \begin{bmatrix} (\sigma^{11})_0; & (\tau^{12})_0; & (\tau^{13})_0 \\ & (\sigma^{22})_0; & (\tau^{23})_0 \\ symm & & (\sigma^{33})_0 \end{bmatrix}. \quad (П6.75)$$

Из (П6.74-а) и (П6.38-б) получим соотношение между матрицами  $[\underline{\sigma}]_0$ ,  $[\sigma]$  и  $[T]_0$ :

$$J \cdot [\sigma] = [X][\underline{\sigma}]_0[X]^T = [X][T]_0. \quad (\text{П6.76-а})$$

Поскольку матрица  $[\sigma]$  симметрична, то конгруэнтная ей матрица  $[\underline{\sigma}]_0$  тоже симметрична, т.е. ТН2ПК действительно является симметричным тензором.

В компонентной форме выражения (П6.76-а):

$$J \cdot \sigma^{mn} = X_j^n (\underline{\sigma}^{ij})_0 X_i^m = X_j^m (T^{jn})_0. \quad (\text{П6.76-б})$$

Еще один вариант записи первой части выражения (П6.76-а) – через векторы-столбцы  $\{\sigma\}$  и  $\{\underline{\sigma}\}_0$ :

$$J\{\sigma\} = [V]\{\underline{\sigma}\}_0 \quad \text{или} \quad \{\underline{\sigma}\}_0 = J[V]^{-1}\{\sigma\}, \quad (\text{П6.77})$$

где матрица  $[V]$  размером  $6 \times 6$  состоит из комбинаций компонент матрицы  $[C]$  (см. выражение (П6.27)).

### П6.3 Принцип возможных перемещений в текущей конфигурации

#### П6.3.1 Законы движения и равновесия элементарного объема тела

Количество движения некоторого текущего (сдеформированного) объема  $\Omega^*$ , каждая точка которого имеет скорость  $\vec{V}$  и плотность материала  $\bar{\rho}$ , определяется как

$$\mathfrak{S} = \int_{\Omega^*} \vec{V} \bar{\rho} d\Omega. \quad (\text{П6.78})$$

Уравнением количества движения (вторым законом Ньютона) называют уравнение

$$d\mathfrak{S} / dt = \vec{R}, \quad (\text{П6.79})$$

где результирующая всех сил, действующих на объем

$$\vec{R} = \int_{\Omega^*} \vec{O} d\Omega + \int_{S^*} \vec{P} dS, \quad (\text{П6.80})$$

$\vec{O} = O^j \vec{E}_j$  и  $\vec{P} = P^j \vec{E}_j$  – соответственно плотность объемных (массовых) и поверхностных сил; а векторы  $\vec{E}_j$ , как и ранее, определяют сдеформированный базис.

С поверхностными силами связывают компоненты тензора напряжений, действующих в той же точке поверхности (естественные граничные условия):

$$\vec{P} = \vec{\sigma} \cdot \vec{\nu} \Big|_{S^*}, \quad (\text{П6.81})$$

где  $\vec{\nu}$  – внешняя нормаль к точке поверхности тела. Отметим, что выражение  $\vec{\sigma} \cdot \vec{\nu}$  означает свертку тензора с вектором, которая имеет результатом вектор.

Применим уравнение Остроградского-Гаусса, получим, что

$$\int_{S^*} \vec{\sigma} \cdot \vec{\nu} dS = \int_{\Omega^*} \vec{\nabla} \cdot \vec{\sigma} d\Omega, \quad (\text{П6.82})$$

где  $\vec{\nabla} \cdot \vec{\sigma} = \text{div}(\vec{\sigma})$  является дивергенцией тензора второго ранга  $\vec{\sigma}$ , причем вектор-оператор ковариантного дифференцирования  $\vec{\nabla} = \vec{e}^i \nabla_i$ .

Считаем, что все рассматриваемые физические величины в теле непрерывны, а также выполняется закон сохранения массы, т.е.  $d(\bar{\rho} d\Omega) / dt = 0$ . Тогда с использованием (П6.78) для левой части (П6.79) можно записать, что:

$$d\mathfrak{S} / dt = \int_{\Omega^*} \frac{d\vec{V}}{dt} \bar{\rho} d\Omega = \int_{\Omega^*} \vec{V} \bar{\rho} d\Omega = \int_{\Omega^*} \vec{U} \bar{\rho} d\Omega, \quad (\text{П6.83})$$

где  $\vec{V} = d\vec{V} / dt = d^2 \vec{U} / dt^2 = \vec{U}$  – вектор ускорения. Теперь уравнение (П6.79):

$$\int_{\Omega^*} \bar{\rho} \vec{U} d\Omega = \int_{\Omega^*} \vec{O} d\Omega + \int_{S^*} \vec{\nabla} \cdot \vec{\sigma} d\Omega \quad (\text{П6.84})$$

или в „собранном” виде:

$$\int_{\Omega^*} (\vec{\nabla} \cdot \vec{\sigma} + \vec{O} - \vec{\rho} \vec{U}) d\Omega = 0. \quad (\text{П6.85})$$

Поскольку выражение (П6.85) должно выполняться для любого объема  $\Omega^* \in \Omega$ , то выражение под интегралом должно равняться нулю (основная лемма физики сплошной среды), т.е. уравнение движения элементарного объема тела имеет вид:

$$\vec{\nabla} \cdot \vec{\sigma} + \vec{O} = \vec{\rho} \vec{U}. \quad (\text{П6.86})$$

Если ускорение отсутствует или им можно пренебречь, то уравнение движения (П6.86) превращается в уравнение равновесия элементарного объема тела:

$$\vec{\nabla} \cdot \vec{\sigma} + \vec{O} = 0. \quad (\text{П6.87})$$

### П6.3.2 Принцип (начало) возможных перемещений (в текущей конфигурации)

Возьмем уравнение равновесия (П6.87) и скалярным образом умножим его на вектор вариации перемещений  $\delta \vec{U}$ :

$$(\vec{\nabla} \cdot \vec{\sigma} + \vec{O}) \cdot \delta \vec{U} = 0. \quad (\text{П6.88})$$

После интегрирования во всем объеме тела:

$$\int_{\Omega} (\vec{\nabla} \cdot \vec{\sigma} + \vec{O}) \cdot \delta \vec{U} d\Omega = 0. \quad (\text{П6.89})$$

Так как  $\vec{\nabla} \cdot (\vec{\sigma} \cdot \delta \vec{U}) = (\vec{\nabla} \cdot \vec{\sigma}) \cdot \delta \vec{U} + \vec{\sigma} \cdot (\vec{\nabla} \cdot \delta \vec{U})$ , то

$$(\vec{\nabla} \cdot \vec{\sigma}) \cdot \delta \vec{U} = \vec{\nabla} \cdot (\vec{\sigma} \cdot \delta \vec{U}) - \vec{\sigma} \cdot (\vec{\nabla} \cdot \delta \vec{U}). \quad (\text{П6.90})$$

После подстановки (П6.90) в (П6.89) получаем выражение:

$$\int_{\Omega} \vec{\nabla} \cdot (\vec{\sigma} \cdot \delta \vec{U}) d\Omega - \int_{\Omega} \vec{\sigma} \cdot (\vec{\nabla} \cdot \delta \vec{U}) d\Omega + \int_{\Omega} \vec{O} \cdot \delta \vec{U} d\Omega = 0. \quad (\text{П6.91})$$

Согласно теореме Остроградского-Гаусса первый (объемный) интеграл из (П6.91) равняется (точное соотношение) интегралу по поверхности этого объема:

$$\int_{\Omega} \vec{\nabla} \cdot (\vec{\sigma} \cdot \delta \vec{U}) d\Omega = \int_S (\vec{\sigma} \cdot \vec{\nu}) \cdot \delta \vec{U} dS. \quad (\text{П6.92-а})$$

Согласно естественным граничным условиям (П6.81), а именно  $\vec{P} = \vec{\sigma} \cdot \vec{\nu}|_{S_p}$ , на поверхности  $S_p$  задана силовая нагрузка  $\vec{P}$ . Другая часть поверхности тела  $S \setminus S_p$  свободна от нагрузок, поэтому  $\vec{\sigma} \cdot \vec{\nu}|_{S \setminus S_p} = 0$  и  $\int_{S \setminus S_p} \vec{\sigma} \cdot \vec{\nu} \cdot \delta \vec{U} dS = 0$ . Поэтому соотношение (П6.92-а) можно изменить на

$$\int_{\Omega} \vec{\nabla} \cdot (\vec{\sigma} \cdot \delta \vec{U}) d\Omega = \int_{S_p} \vec{P} \cdot \delta \vec{U} dS. \quad (\text{П6.92-б})$$

С использованием (П6.92-б) выражение (П6.91) запишется в виде:

$$\int_{S_p} \vec{P} \cdot \delta \vec{U} dS - \int_{\Omega} \vec{\sigma} \cdot (\vec{\nabla} \cdot \delta \vec{U}) d\Omega + \int_{\Omega} \vec{O} \cdot \delta \vec{U} d\Omega = 0. \quad (\text{П6.93})$$

Поскольку тензор напряжений  $\vec{\sigma}$  симметричен, то можем записать тождество:

$$\vec{\sigma} \cdot (\vec{\nabla} \cdot \delta \vec{U}) = \vec{\sigma} \cdot 0.5(\vec{\nabla} \cdot \delta \vec{U} + \vec{\nabla} \cdot \delta \vec{U}) = \vec{\sigma} \cdot \delta [0.5(\vec{\nabla} \cdot \vec{U} + \vec{\nabla} \cdot \vec{U})] = \vec{\sigma} \cdot \delta \vec{\varepsilon}, \quad (\text{П6.94})$$

где введено обозначение (через компоненты):

$$\varepsilon_{ij} = 0.5(\nabla_i U_j + \nabla_j U_i). \quad (\text{П6.95})$$

Окончательно вместо (П6.93) имеем (с заменой знаков на противоположные):

$$\delta \Psi = \int_{\Omega} \vec{\sigma} \cdot \delta \vec{\varepsilon} d\Omega - \int_{\Omega} \vec{O} \cdot \delta \vec{U} d\Omega - \int_{S_p} \vec{P} \cdot \delta \vec{U} dS = 0. \quad (\text{П6.96})$$

Обозначим:

$$\delta\Pi = \int_{\Omega} \vec{\sigma} \cdot \delta\vec{\varepsilon} d\Omega; \quad \delta A = \int_{\Omega} \vec{O} \cdot \delta\vec{U} d\Omega + \int_{S_p} \vec{P} \cdot \delta\vec{U} dS. \quad (\text{П6.97})$$

Здесь  $\delta\Pi$  – работа напряжений на вариациях деформаций;  $\delta A$  – работа массовых и поверхностных усилий на вариациях перемещений (но не вариации работ).

Тогда (П6.96) можно записать как

$$\delta\Psi = \delta(\Pi - A) = \delta\Pi - \delta A = 0 \quad \text{или} \quad \delta\Pi = \delta A. \quad (\text{П6.98})$$

Выражения (П6.96) и (П6.98) отображают вариационный принцип возможных перемещений (Ж.Л. Лагранж, 1736 ... 1813 гг). Выражение  $\delta(\Pi - A)$  определяет *полную виртуальную энергию* тела ( $\Psi = \Pi - A$  является *полной энергией* тела). Заметим, что предполагается неизменность напряжений и усилий, когда варьируются перемещения.

## П6.4 Принцип возможных перемещений при ТЛ-формулировке

Рассмотрим вопрос: как изменится выражение (П6.96) принципа возможных перемещений при перерасчете от текущей конфигурации к начальной, которая применяется в ТЛ-формулировке (см. Раздел П6.1). Напомним, что начальную конфигурацию характеризуют три вектора основного базиса  $\vec{e}_i$ , координатные линии  $a^i$ , элемент площади  $(dS)_0$ , элемент объема  $(d\Omega)_0$ .

### П6.4.1 Выражение для работы напряжений на вариациях перемещений в ТЛ-формулировке принципа возможных перемещений

Рассмотрим первый интеграл из функционала (П6.96), приведем его к начальной конфигурации.

Сначала получим выражение для вариации деформации.

Используем симметричные матрицы  $[\varepsilon]$  и  $[g]$ , созданные из компонент тензоров  $\varepsilon_{ij}$  и  $g_{ij}$  (метрического) соответственно – формулы (П6.24). Тогда уравнение (П6.29):

$$[\varepsilon] = 0.5([\mathcal{X}]^T[\mathcal{X}] - [g]), \quad (\text{П6.99})$$

где матрица  $[\mathcal{X}]$  соответствует (П6.26).

Из этого выражения получим вариацию, учитывая, что  $\delta[g] = 0$ :

$$\delta[\varepsilon] = 0.5\left(\left(\delta[\mathcal{X}]^T\right)[\mathcal{X}] + [\mathcal{X}]^T\left(\delta[\mathcal{X}]\right)\right). \quad (\text{П6.100})$$

Из компонент  $\nabla_i(\delta x^m) = \nabla_i(a^m + \delta U^m)$  создадим матрицу

$$\delta[U] = \begin{bmatrix} \nabla_1(\delta x^1); & \nabla_2(\delta x^1); & \nabla_3(\delta x^1) \\ \nabla_1(\delta x^2); & \nabla_2(\delta x^2); & \nabla_3(\delta x^2) \\ \nabla_1(\delta x^3); & \nabla_2(\delta x^3); & \nabla_3(\delta x^3) \end{bmatrix}. \quad (\text{П6.101})$$

Можно легко получить, что

$$\delta[\mathcal{X}] = (\delta[U])[\mathcal{X}]; \quad \delta[\mathcal{X}]^T = [\mathcal{X}]^T (\delta[U]^T). \quad (\text{П6.102})$$

Поэтому (П6.100) определится как

$$\begin{aligned} \delta[\varepsilon] &= 0.5([\mathcal{X}]^T (\delta[U]^T) [\mathcal{X}] + [\mathcal{X}]^T (\delta[U]) [\mathcal{X}]) = \\ &= [\mathcal{X}]^T 0.5\left(\left(\delta[U]^T\right) + (\delta[U])\right) [\mathcal{X}] = [\mathcal{X}]^T (\delta[\varepsilon]) [\mathcal{X}], \end{aligned} \quad (\text{П6.103})$$

где обозначена матрица

$$\delta[\varepsilon] = 0.5\left(\left(\delta[U]^T\right) + (\delta[U])\right), \quad (\text{П6.104})$$

содержащая вариации от компонент тензора (П6.95).

Теперь сначала запишем первый интеграл из функционала (П6.96) с применением (П6.76-а) и (П6.49) как  $\int_{\Omega} [\sigma] \delta[\varepsilon] d\Omega = \int_{\Omega_0} \frac{1}{J} [X][\sigma]_0 [X]^T \delta[\varepsilon] J(d\Omega)_0$ ; потом, умножая подынтегральное выражение справа на выражение, которое ничто не изменяет, а именно на  $[X][X]^{-1} = [I]$ , и проводя замену  $[X]^T (\delta[\varepsilon])[X] = \delta[\varepsilon]$  согласно (П6.103), получим, что:

$$\begin{aligned} \int_{\Omega} [\sigma] \delta[\varepsilon] d\Omega &= \int_{\Omega_0} \frac{1}{J} [X][\sigma]_0 [X]^T \delta[\varepsilon] J(d\Omega)_0 = \int_{\Omega_0} [X][\sigma]_0 ([X]^T \delta[\varepsilon][X])[X]^{-1} (d\Omega)_0 = \\ &= \int_{\Omega_0} [X][\sigma]_0 \delta[\varepsilon][X]^{-1} (d\Omega)_0 = \int_{\Omega_0} [\sigma]_0 \delta[\varepsilon] (d\Omega)_0. \end{aligned} \quad (\text{П6.105-а})$$

В компонентной форме:

$$\int_{\Omega} \sigma^{ij} \delta\varepsilon_{ij} d\Omega = \int_{\Omega_0} (\sigma^{ij})_0 \delta\varepsilon_{ij} (d\Omega)_0. \quad (\text{П6.105-б})$$

Итак, получили запись первого интеграла из функционала (П6.96) в начальной конфигурации.

#### П6.4.2 Выражение для объемного интеграла в TL-формулировке принципа возможных перемещений

Получим выражение для второго интеграла из (П6.96), а именно для  $\int_{\Omega} \vec{O} \cdot \delta\vec{U} d\Omega$ , после преобразования в начальную конфигурацию. Компоненты  $\delta U^i$  вектора вариации перемещений  $\delta\vec{U} = \delta U^i \vec{e}_i$  преобразовывать нет необходимости, поскольку они определяются относительно исходной (недеформированной) конфигурации. Вектор  $\vec{O}$  объемной нагрузки запишем в виде

$$\vec{O} = \bar{\rho} \vec{F}, \quad (\text{П6.106})$$

где  $\bar{\rho}$  является удельной плотностью материала. Согласно следствию закона о сохранении массы тела (см. формулу (П6.50))  $\int_{\Omega} \bar{\rho} d\Omega = \int_{\Omega_0} (\bar{\rho})_0 (d\Omega)_0$ . Поэтому

$$\int_{\Omega} \vec{O} \cdot \delta\vec{U} d\Omega = \int_{\Omega_0} (\bar{\rho})_0 \vec{F} \cdot (\delta U^i \vec{e}_i) (d\Omega)_0. \quad (\text{П6.107})$$

Осталось выразить вектор удельной массовой силы  $\vec{F}$  в начальной конфигурации. Возможны две ситуации:

- сила  $\vec{F}$  является „мертвой”, т.е. не изменяет своего положения и свою величину при наличии деформации в точке тела, поэтому  $\vec{F} = (F^i)_0 \vec{e}_i$  и

$$\int_{\Omega} \vec{O} \cdot \delta\vec{U} d\Omega = \int_{\Omega_0} (\bar{\rho})_0 (F^i)_0 \vec{e}_i \cdot (\delta U^i \vec{e}_i) (d\Omega)_0; \quad (\text{П6.108-а})$$

- сила  $\vec{F}$  „следит” за деформацией точки тела (изменяет свое положение и свою величину при наличии деформации), поэтому  $\vec{F} = F^j \vec{E}_j = F^j (\delta_j^i + \nabla_j U^i) \vec{e}_i = F^j X_j^i \vec{e}_i$  и

$$\int_{\Omega} \vec{O} \cdot \delta\vec{U} d\Omega = \int_{\Omega_0} (\bar{\rho})_0 F^j X_j^i \vec{e}_i \cdot (\delta U^i \vec{e}_i) (d\Omega)_0, \quad (\text{П6.108-б})$$

причем величина  $F^i$  может изменяться как функция  $\vec{x}$ . Кстати, плотность материала также может быть функцией координат.

Выражения (П6.108-а) и (П6.108-б) можно заменить одним, если ввести обозначения:

$$(\vec{F}^i)_0 = (F^i)_0 \quad \text{и} \quad (\vec{F}^i)_0 = F^j X_j^i \quad (\text{П6.109})$$

для формул (П6.108-а) и (П6.108-б) соответственно. Учтем, что  $\vec{e}_i \cdot \vec{e}_j = g_{ij}$ , поэтому выражение  $\vec{F} \cdot (\delta U^i \vec{e}_i) = (\vec{F}^i)_0 \vec{e}_i \cdot (\delta U^i \vec{e}_i) = (\vec{F}^i)_0 \delta U^i g_{ii}$ .

Обозначим  $(Q^i)_0 = (\bar{F}^i)_0 g_{ii}$  (в ДСК все  $g_{ii}=1$ ). Тогда выражение для второго интеграла из (П6.96) в начальной конфигурации запишется как

$$\int_{\Omega} \bar{O} \cdot \delta \bar{U} d\Omega = \int_{\Omega_0} (\bar{\rho})_0 (\bar{F}^i)_0 \delta U^i (d\Omega)_0 \quad \text{или} \quad \int_{\Omega} \bar{O} \cdot \delta \bar{U} d\Omega = \int_{\Omega_0} (Q^i)_0 \delta U^i (d\Omega)_0. \quad (\text{П6.110})$$

### П6.4.3 Выражение для поверхностного интеграла в ТЛ-формулировке принципа возможных перемещений

Рассмотрим третий интеграл из (П6.96), а именно  $\int_{S_p} \bar{P} \cdot \delta \bar{U} dS$ . Результирующий вектор поверхностной нагрузки на элементарной площадке  $\bar{P} dS$  запишем в виде  $\bar{P} dS = q \bar{v} dS$ , где  $q = q(\bar{x}, t)$  – распределенная нагрузка в точке поверхности;  $\bar{v} = v_i \bar{E}^i$  – вектор нормали к поверхности в той же точке. Учтено, что именно контравариантные векторы  $\bar{E}^i$  нормальны к сдеформированной поверхности, которую определяют два вектора  $\bar{E}_j$  и  $\bar{E}_k$  (здесь  $i \neq j \neq k \neq i$ ;  $i, j, k = 1, 2, 3$ ). Тогда

$$\int_{S_p} \bar{P} \cdot \delta \bar{U} dS = \int_{S_p} (q v_i \bar{E}^i) \cdot (\delta U^i \bar{e}_i) dS. \quad (\text{П6.111})$$

Компоненты  $\delta U^i$  вектора вариации перемещений  $\delta \bar{U} = \delta U^i \bar{e}_i$  преобразовывать нет необходимости, поскольку они определяются относительно исходной (недеформированной) конфигурации. Представим оставшуюся часть подынтегрального выражения, т.е.  $q v_i \bar{E}^i dS$ , в виде

$$q v_i \bar{E}^i dS = (p^j)_0 \bar{E}_j (dS)_0, \quad (\text{П6.112})$$

где компоненты

$$(p^j)_0 = P^{ij} (v_i)_0 \quad (\text{П6.113})$$

являются приведенными компонентами вектора нагрузки к поверхности единичной площади *исходной* (недеформированной) конфигурации, которые еще необходимо найти.

Компоненты  $v_i$  в (П6.112) определены относительно  $\bar{E}_i$ , т.е.:

$$v_i = (\delta_i^j + \nabla_i U^j) v_j = X_i^j v_j; \quad i, j = 1, 2, 3. \quad (\text{П6.114})$$

где  $v_j$  являются компонентами вектора нормали к элементарной поверхности  $dS$ , определенные относительно  $\bar{e}_i$ ,  $i = 1, 2, 3$ . Итак, вместо (П6.112) запишем:

$$q X_i^j v_j \bar{E}^i dS = (P^{ij})_0 (v_i)_0 \bar{E}_j (dS)_0. \quad (\text{П6.115})$$

В соответствии с формулой Нансона (П6.68)  $X_i^j v_j dS = J \cdot (v_i)_0 (dS)_0$ . Подставим это выражение в левую часть формулы (П6.115). После сокращения на  $(dS)_0$  получим:

$$q J (v_i)_0 \bar{E}^i = (P^{ij})_0 (v_i)_0 \bar{E}_j. \quad (\text{П6.116})$$

С учетом (П6.113) это выражение примет вид

$$q J (v_i)_0 \bar{E}^i = (p^j)_0 \bar{E}_j. \quad (\text{П6.117})$$

Умножим (П6.117) скалярным образом на  $\bar{E}_k$ . Учитывая то, что  $\bar{E}^i \cdot \bar{E}_k = \delta_k^i$ ;  $(v_i)_0 \delta_k^i = (v_k)_0$ ;  $\bar{E}_j \cdot \bar{E}_k = C_{jk}$ , получим сначала, что

$$q J (v_k)_0 = (p^j)_0 G_{jk}, \quad (\text{П6.118})$$

а с учетом  $C^{jk} = (C_{jk})^{-1}$  и  $C^{jk} (v_k)_0 = C^{ji} (v_i)_0$ :

$$(p^j)_0 = q J G^{ji} (v_i)_0. \quad (\text{П6.119})$$

Итак, вместо (П6.111), с учетом (П6.112) и (П6.119), имеем выражение



$$\begin{aligned} \int_{S_P} \bar{P} \cdot \delta \bar{U} dS &= \int_{(S_P)_0} q J C^{ji} (v_i)_0 \bar{E}_j \cdot (\delta U^i \bar{e}_i) (dS)_0 = \\ &= \int_{(S_P)_0} q J (C^{ji} (v_i)_0 X_j^m \bar{e}_m) \cdot (\delta U^m \bar{e}_m) (dS)_0 = \int_{(S_P)_0} q J C^{ji} (v_i)_0 X_j^m \delta U^m g_{mm} (dS)_0, \end{aligned} \quad (\text{П6.120-а})$$

вычисляемое в *исходной* (недеформированной) конфигурации. Обозначим:

$$(\underline{p}^m)_0 = q J C^{ji} (v_i)_0 X_j^m g_{mm}. \quad (\text{П6.121})$$

Тогда окончательно для (П6.96)

$$\int_{S_P} \bar{P} \cdot \delta \bar{U} dS = \int_{(S_P)_0} (\underline{p}^m)_0 \delta U^m (dS)_0. \quad (\text{П6.120-б})$$

#### П6.4.4 Выражение принципа возможных перемещений при TL-формулировке

Если выражения (П6.105-б), (П6.110) и (П6.120-б) подставить в принцип возможных перемещений (П6.96), то получим его выражение при TL-формулировке (в компонентной форме):

$$\delta \Psi = \int_{\Omega_0} (\underline{\sigma}^{ij})_0 \delta \varepsilon_{ij} (d\Omega)_0 - \int_{\Omega_0} (Q^i)_0 \delta U^i (d\Omega)_0 - \int_{(S_P)_0} (\underline{p}^m)_0 \delta U^m (dS)_0 = 0. \quad (\text{П6.122})$$

### П6.5 Конечно-элементная аппроксимация краевых задач при TL-формулировке и метод решения системы алгебраических уравнений

#### П6.5.1 Конечно-элементная аппроксимация принципа возможных перемещений

Для создания системы алгебраических уравнений в NX Nastran применяется принцип возможных перемещений в TL-формулировке (П6.122).

Поскольку аппроксимация будет проводиться на конечно-элементной сетке, то вместо выражения (П6.122) запишем его сеточный аналог

$$\delta \Psi_h = \left( \int_{\Omega_0} (\underline{\sigma}^{ij})_0 \delta \varepsilon_{ij} (d\Omega)_0 - \int_{\Omega_0} (Q^i)_0 \delta U^i (d\Omega)_0 - \int_{(S_P)_0} (\underline{p}^m)_0 \delta U^m (dS)_0 \right)_h = 0. \quad (\text{П6.123})$$

Далее нижний индекс  $_h$  опускаем с целью упрощения записей.

Этот функционал в объединении с кинематическими ГУ на поверхности  $S_U$

$$U^m|_{S_U} = \bar{g}^m, \text{ т.е. } \delta U^m|_{S_U} = 0 \quad (\text{П6.124})$$

определяет бесчисленное множество возможных НДС. Действительное НДС – одно из виртуальных, но дополнительно удовлетворяет уравнениям связи между напряжениями и деформациями.

Есть несколько итерационных алгоритмов (методов) решения существенно нелинейных краевых задач, довольно хорошо изученных. При постановке краевой задачи в перемещениях с учетом неупругих деформаций, а также при учете геометрической нелинейности в NX Nastran применяется метод дополнительных нагрузок одновременно с методом Ньютона-Рафсона решения нелинейной САУ, порождаемой методом.

Весь процесс нагружения тела разбивается на этапы, на каждом из которых решается краевая задача. Результаты текущего этапа являются начальными условиями для следующего этапа. В частном случае рассматривается лишь один этап нагружения.

Для аппроксимации будущего решения применяется метод конечных элементов.

Введем векторы:  $\{Q\}_0 = \{Q_1, Q_2, Q_3\}_0^T$  – объемных и  $\{p\}_0 = \{p_1, p_2, p_3\}_0^T$  – приведенных поверхностных нагрузок. Функционал (П6.123) с учетом матричных обозначений, введенных ранее в Приложениях 5 и 6, будет иметь вид:

$$\delta \Psi = \int_{\Omega_0} \{\delta \varepsilon\}^T \{\underline{\sigma}\}_0 (d\Omega)_0 - \int_{\Omega_0} \{\delta U\}^T \{Q\}_0 (d\Omega)_0 - \int_{(S_P)_0} \{\delta U\}^T \{p\}_0 (dS)_0 = 0. \quad (\text{П6.125})$$

Определим, что  $\{\delta \in\} = [\tilde{B}] \{\delta q\}_e$  (см. второе выражение в (П5.92)) и  $\{\delta \in\}^T = ([\tilde{B}] \{\delta q\}_e)^T = \{\delta q\}_e^T [\tilde{B}]^T$ ;  $\{\delta U\} = \delta([\phi] \{q\}_e) = [\phi] \{\delta q\}_e$  и  $\{\delta U\}^T = \{\delta q\}_e^T [\phi]^T$ . Функционал (П6.125) с учетом этих формул и возможности суперпозиции по КЭ работ внешних и внутренних сил, обусловленной тем, что КЭ не пересекаются, записывается как

$$\begin{aligned} \delta \Psi = & \sum_e \int_{(\Omega^e)_0} \{\delta q\}_e^T [\tilde{B}]^T \{\sigma\}_0(d\Omega)_0 - \\ & - \sum_e \int_{(\Omega^e)_0} \{\delta q\}_e^T [\phi]^T \{Q\}_0(d\Omega)_0 - \sum_e \int_{(S^e_p)_0} \{\delta q\}_e^T [\phi]^T \{p\}_0(dS)_0 = 0, \end{aligned} \quad (\text{П6.126})$$

где знак  $\sum_e$  означает суммирование по всем КЭ, содержащим актуальную степень свободы конкретного узла.

Так как векторы  $\{\delta q\}_e^T$  не зависят от параметров интегрирования, их можно вынести за границы интегралов (как обычные константы). Из (П6.126), сгруппировав интегралы, имеем:

$$\delta \Psi = \sum_e \{\delta q\}_e^T \left( \int_{(\Omega^e)_0} [\tilde{B}]^T \{\sigma\}_0(d\Omega)_0 - \int_{(\Omega^e)_0} [\phi]^T \{Q\}_0(d\Omega)_0 - \int_{(S^e_p)_0} [\phi]^T \{p\}_0(dS)_0 \right) = 0. \quad (\text{П6.127})$$

Поскольку величины  $\{\delta q\}_e^T$  – произвольные, то из (П6.127)

$$\sum_e \left( \int_{(\Omega^e)_0} [\tilde{B}]^T \{\sigma\}_0(d\Omega)_0 - \int_{(\Omega^e)_0} [\phi]^T \{Q\}_0(d\Omega)_0 - \int_{(S^e_p)_0} [\phi]^T \{p\}_0(dS)_0 \right) = 0. \quad (\text{П6.128})$$

Обозначим:

$$\{P\}_0 = \sum_e (\{P\}_0)_e; \quad (\{P\}_0)_e = \int_{(\Omega^e)_0} [\phi]^T \{Q\}_0(d\Omega)_0 + \int_{(S^e_p)_0} [\phi]^T \{p\}_0(dS)_0. \quad (\text{П6.129-а})$$

Если на поверхности задано несколько (обозначим как  $N_{\bar{p}}$ ) сосредоточенных сил  $\bar{P}_i$ ;  $i = 1, \dots, N_{\bar{p}}$  с компонентами  $(\bar{P}^m)_i$  в исходном базисе  $\bar{e}_m$ , то для КЭ с таким узлом  $\int_{S^e_p} [\phi]^T \{p\} dS = \{\bar{P}\}$ , поскольку в узлах матрица  $[\phi]$  имеет все нулевые значения, кроме единицы в актуальном узле, а площадь вырождается в точку. Здесь введен вектор сосредоточенной силы  $\{\bar{P}\} = \{\bar{P}_1, \bar{P}_2, \bar{P}_3\}^T$ . Поэтому выражение (П6.129-а) модифицируется:

$$\{P\}_0 = \sum_e (\{P\}_0)_e; \quad (\{P\}_0)_e = \int_{(\Omega^e)_0} [\phi]^T \{Q\}_0(d\Omega)_0 + \int_{(S^e_p)_0} [\phi]^T \{p\}_0(dS)_0 + \sum_{i=1}^{N_{\bar{p}}} \{\bar{P}\}_i. \quad (\text{П6.129-б})$$

Еще обозначим

$$\{R\}_0 = \sum_e (\{R\}_0)_e; \quad (\{R\}_0)_e = \int_{(\Omega^e)_0} [\tilde{B}]^T \{\sigma\}_0(d\Omega)_0. \quad (\text{П6.130-а})$$

Выражение (П6.128), т.е. уравнение равновесия системы, примет вид

$$\sum_e \int_{(\Omega^e)_0} [\tilde{B}]^T \{\sigma\}_0(d\Omega)_0 = \{P\}_0 \quad \text{или} \quad \{R\}_0 = \{P\}_0. \quad (\text{П6.131-а})$$

### П6.5.2 Алгоритм решения краевой задачи с учетом геометрической нелинейности на основе метода Ньютона-Рафсона

Для решения *нелинейных* САУ в NX Nastran используется метод Ньютона-Рафсона, обеспечивающий высокую скорость сходимости.

Согласно методу Ньютона-Рафсона решения нелинейных САУ считается, что

$$\{\psi\}^{(k+1)} \approx \{\psi\}^{(k)} + \left( \frac{\partial \{\psi\}}{\partial \{q\}} \right)^{(k)} \{dq\} \approx \{0\}; \quad \{q\}^{(k+1)} = \{q\}^{(k)} + \{dq\}, \quad (\text{П6.132})$$

где вектор погрешности (вектор невязки)  $\{\psi\}$  определяется как разность между правой и левой частями САУ;  $k$  – номер итерации. Поэтому из выражений (П6.131-а) вектор погрешностей

$$\{\psi\}^{(k)} = (\{P\}_0)^{(k)} - \left( \sum_e \int_{(\Omega^e)_0} [\tilde{B}]^T \{\varpi\}_0(d\Omega)_0 \right)^{(k)} \quad \text{или}$$

$$\{\psi\}^{(k)} = (\{P\}_0)^{(k)} - (\{R\}_0)^{(k)}; \quad k = 0, 1, \dots \quad (\text{П6.133})$$

С учетом (П6.133) выражение (П6.132) запишем в виде итерационной (рекуррентной) последовательности СЛАУ

$$-\left( \frac{\partial \{\psi\}}{\partial \{q\}} \right)^{(k)} \{dq\} = (\{P\}_0)^{(k)} - (\{R\}_0)^{(k)}; \quad \{q\}^{(k+1)} = \{q\}^{(k)} + \{dq\}. \quad (\text{П6.134})$$

Осталось определиться с матрицей  $\left( \frac{\partial \{\psi\}}{\partial \{q\}} \right)^{(k)}$ . В соответствии с первым выражением (П6.133) для последовательности СЛАУ (П6.134):

$$\left( \frac{\partial \{\psi\}}{\partial \{q\}} \right)^{(k)} \{dq\} = \left( \frac{\partial}{\partial \{q\}} \left( \{P\}_0 - \sum_e \int_{(\Omega^e)_0} [\tilde{B}]^T \{\varpi\}_0(d\Omega)_0 \right) \right)^{(k)} \{dq\} = \left( \frac{\partial \{P\}_0}{\partial \{q\}} \right)^{(k)} \{dq\} -$$

$$-\left( \sum_e \int_{(\Omega^e)_0} \frac{\partial [\tilde{B}]^T}{\partial \{q\}_e} \{\varpi\}_0(d\Omega)_0 \right)^{(k)} \{dq\} - \left( \sum_e \int_{(\Omega^e)_0} [\tilde{B}]^T \frac{\partial \{\varpi\}_0}{\partial \{q\}_e}(d\Omega)_0 \right)^{(k)} \{dq\}. \quad (\text{П6.135})$$

Отдельно рассмотрим каждое выражение из правой части (П6.135).

Несмотря на значительные перемещения и повороты, будем считать, что деформации являются относительно небольшими (до 2%). Примем, что

$$\left( \frac{\partial \{P\}_0}{\partial \{q\}} \right)^{(k)} \{dq\} \approx \{0\}. \quad (\text{П6.136})$$

Поскольку  $[\tilde{B}] = [B] + [\bar{B}]$ , а  $\partial[B]/\partial\{q\}_e = [0]$ , то, с учетом (П5.83) и (П5.76) ... (П5.80), первый интеграл из правой части (П6.135):

$$\left( \sum_e \int_{(\Omega^e)_0} \frac{\partial [\tilde{B}]^T}{\partial \{q\}_e} \{\varpi\}_0(d\Omega)_0 \right)^{(k)} = \left( \sum_e \int_{(\Omega^e)_0} \frac{\partial [\bar{B}]^T}{\partial \{q\}_e} \{\varpi\}_0(d\Omega)_0 \right)^{(k)} =$$

$$= \left( \sum_e \int_{(\Omega^e)_0} \frac{\partial ([A][W])^T}{\partial \{q\}_e} \{\varpi\}_0(d\Omega)_0 \right)^{(k)} = \left( \sum_e \int_{(\Omega^e)_0} [W]^T \frac{\partial [A]^T}{\partial \{q\}_e} \{\varpi\}_0(d\Omega)_0 \right)^{(k)} =$$

$$= \left( \sum_e \int_{(\Omega^e)_0} [W]^T [\varpi]_0 [W](d\Omega)_0 \right)^{(k)}, \quad (\text{П6.137})$$

где учтена симметрия матрицы  $[\varpi]_0$  из компонент вектора  $\{\varpi\}_0$ ; что  $([A][W])^T = [W]^T [A]^T$ ,  $\partial[W]^T/\partial\{q\}_e = [0]$ , а также, что матрица  $\partial[A]^T/\partial\{q\}_e = [W]$ .

Введем глобальную симметричную матрицу:

$$[K_\sigma]_0 = \sum_e ([K_\sigma]_0)_e, \quad \text{где } ([K_\sigma]_0)_e = \int_{(\Omega^e)_0} [G]^T [\tilde{S}] [G](d\Omega)_0. \quad (\text{П6.138})$$

Тогда окончательно из первого интеграла из правой части (П6.135) имеем

$$\left( \sum_e \int_{(\Omega^e)_0} \frac{\partial [\tilde{B}]^T}{\partial \{q\}_e} \{\varpi\}_0(d\Omega)_0 \right)^{(k)} = \sum_e (([K_\sigma]_0)_e)^{(k)} = ([K_\sigma]_0)^{(k)}. \quad (\text{П6.139})$$

Рассмотрим последнее выражение из правой части (П6.135). Определим, что

$$\frac{\partial \{\underline{\sigma}\}_0}{\partial \{q\}_e} = \frac{\partial \{\underline{\sigma}\}_0}{\partial \{\epsilon\}} \frac{\partial \{\epsilon\}}{\partial \{q\}_e} = [\tilde{D}] \frac{\partial \{\epsilon\}}{\partial \{q\}_e}. \quad (\text{П6.140})$$

Согласно (П5.92)

$$\frac{\partial \{\epsilon\}}{\partial \{q\}_e} = [\tilde{B}]. \quad (\text{П6.141})$$

Поэтому:

$$\left( \sum_e \int_{(\Omega^e)_0} [\tilde{B}]^T \frac{\partial \{\underline{\sigma}\}_0}{\partial \{q\}_e} (d\Omega)_0 \right)^{(k)} \{dq\} = \left( \sum_e \int_{(\Omega^e)_0} [\tilde{B}]^T [\tilde{D}] [\tilde{B}] (d\Omega)_0 \right)^{(k)} \{dq\}. \quad (\text{П6.142})$$

Итак, осталось определиться с выражением для матрицы

$$[\tilde{D}] = \frac{\partial \{\underline{\sigma}\}_0}{\partial \{\epsilon\}}. \quad (\text{П6.143-а})$$

Вариантов таких выражений столько, сколько моделей материалов, т.е. много. Поэтому здесь выражения для матрицы  $[\tilde{D}]$  не рассматриваем.

Обозначим:

$$([\tilde{K}]_0)_e = \int_{(\Omega^e)_0} [\tilde{B}]^T [\tilde{D}] [\tilde{B}] (d\Omega)_0; \quad [\tilde{K}]_0 = \sum_e ([\tilde{K}]_0)_e. \quad (\text{П6.144})$$

Левая часть первого выражения из (П6.134) получит вид:

$$-\left( \frac{\partial \{\psi\}}{\partial \{q\}} \right)^{(k)} \{dq\} = ([K_\sigma]_0 + [\tilde{K}]_0)^{(k)} \{dq\} = ([\underline{K}]_0)^{(k)} \{dq\}, \quad (\text{П6.145})$$

где введена матрица

$$[\underline{K}]_0 = [K_\sigma]_0 + [\tilde{K}]_0. \quad (\text{П6.146})$$

Теперь окончательно выражения (П6.134), т.е. уравнения метода Ньютона-Рафсона, получат вид:

$$([\underline{K}]_0)^{(k)} \{dq\} \approx (\{P\}_0)^{(k)} - (\{R\}_0)^{(k)}; \quad \{q\}^{(k+1)} = \{q\}^{(k)} + \{dq\}. \quad (\text{П6.147-а})$$

Первое выражение (П6.147-а) является линейной системой алгебраических уравнений для нахождения вектора-решения  $\{dq\}$  на  $(k+1)$ -й итерации согласно методу Ньютона-Рафсона. Она собрана на основе решения, полученного на предыдущей  $k$ -ой итерации: и матрица  $[\underline{K}]_0$  СЛАУ, и вектор правой части СЛАУ.

На нулевой итерации, когда в теле еще нет напряжений и деформаций, компоненты выражения (П6.147-а)  $(\{R\}_0)^{(0)} = \{0\}$ ;  $[K_\sigma]_0 = [0]$ , а

$$[\tilde{K}]_0 = [K]_0, \quad \text{где} \quad [K]_0 = \sum_e [K_0]_e; \quad [K_0]_e = \int_{(\Omega^e)_0} [B]^T [D] [B] (d\Omega)_0, \quad (\text{П6.148})$$

поэтому на нулевой итерации (П6.147-а) вырождается в

$$[K]_0 \{dq\} \approx (\{P\}_0)^{(0)}; \quad \{q\}^{(1)} = \{q\}^{(0)} + \{dq\}. \quad (\text{П6.149-а})$$

Реально рассматриваются не бесконечные малые приращения, а конечные. Поэтому в (П6.147-а) и (П6.149-а) вместо знака дифференциала  $d$  используют знак приращения  $\Delta$ :

$$([\underline{K}]_0)^{(k)} \{\Delta q\} \approx (\{P\}_0)^{(k)} - (\{R\}_0)^{(k)}; \quad \{q\}^{(k+1)} = \{q\}^{(k)} + \{\Delta q\}; \quad (\text{П6.147-б})$$

$$[K]_0 \{\Delta q\} \approx (\{P\}_0)^{(0)}; \quad \{q\}^{(1)} = \{q\}^{(0)} + \{\Delta q\}. \quad (\text{П6.149-б})$$

Для алгоритма Ньютона-Рафсона доказаны теоремы существования и единственности решения. Алгоритм имеет большую скорость сходимости. Его основной недостаток – новые матрицы на каждой итерации.

Матрицу  $[K_\sigma]$  называют матрицей *геометрической жесткости* (geometric stiffness matrix) или матрицей *начальных напряжений*.

### П6.5.3 Алгоритм метода BFGS решения САУ для краевой задачи с учетом геометрической нелинейности

Метод BFGS (Broyden-Fletcher-Goldfarb-Shanno), применяемый в NX Nastran 7.1, является одним из так называемых квази-Ньютоновских методов, или методов восстановления, линейного поиска (line search),  $\alpha$  – ускорения. Отличие этих методов от метода Ньютона-Рафсона (см. Раздел П6.5.2) состоит в том, что другим способом обновляется матрица жесткости для  $(k + 1)$ -й итерации.

Метод BFGS имеет три этапа (принято, что  $[\underline{K}]_0^{(1)} = [\underline{K}]_0$ ):

**Этап 1:** находятся векторы:

$$\{\psi\}_0^{(k)} = \{P\}_0^{(k)} - \{R\}_0^{(k)}; \quad k = 1, \dots; \quad (\text{П6.150})$$

$$\{\Delta q\} = ([\underline{K}]_0^{(k)})^{-1} \{\psi\}_0^{(k)}; \quad k = 1, \dots. \quad (\text{П6.151})$$

Последний вектор определяет „направление” фактического приращения узловых перемещений.

**Этап 2:** вычисляется новый вектор узловых перемещений

$$\{q\}^{(k+1)} = \{q\}^{(k)} + \alpha \cdot \{\Delta q\} \quad (\text{П6.152})$$

и соответствующий ему вектор  $\{\psi\}_0^{(k+1)} = \{P\}_0^{(k+1)} - \{R\}_0^{(k+1)}$ . В (П6.151)  $\alpha$  – скалярный множитель, который обычно выбирается из диапазона  $[0.05, 1]$  таким, чтобы при назначенном допуске сходимости  $\varepsilon$  удовлетворялось условие

$$\{\Delta q\}^T \cdot \{\psi\}_0^{(k+1)} \leq \varepsilon \{\Delta q\}^T \cdot \{\psi\}_0^{(k)}. \quad (\text{П6.153})$$

Когда  $\alpha$  выбрано и вычислено  $\{q\}^{(k+1)}$ , формируются векторы

$$\{\delta\}^{(k+1)} = \{q\}^{(k+1)} - \{q\}^{(k)} = \alpha \cdot \{\Delta q\}; \quad (\text{П6.154})$$

$$\{\gamma\}^{(k+1)} = \{\psi\}_0^{(k)} - \{\psi\}_0^{(k+1)}. \quad (\text{П6.155})$$

**Этап 3:** обновляется матрица жесткости:

$$([\underline{K}]_0^{(k+1)})^{-1} = ([A]^{(k+1)})^T ([\underline{K}]_0^{(k)})^{-1} [A]^{(k+1)}, \quad (\text{П6.156})$$

где применяется матрица  $[A]^{(k)}$  той же размерности, что и  $[\underline{K}]_0$ , с компонентами

$$[A]^{(k)} = [I] + \{v\}^{(k)} (\{w\}^{(k)})^T. \quad (\text{П6.157})$$

Обновленная матрица  $[\underline{K}]_0^{(k+1)}$  должна удовлетворять уравнению

$$[\underline{K}]_0^{(k+1)} \{\delta\}^{(k+1)} = \{\gamma\}^{(k+1)}. \quad (\text{П6.158})$$

Векторы  $\{v\}$  и  $\{w\}$  для (П6.157) вычисляются согласно формулам

$$\{v\}^{(k+1)} = - \sqrt{\frac{(\{\delta\}^{(k+1)})^T \{\gamma\}^{(k+1)}}{(\{\delta\}^{(k+1)})^T + [\underline{K}]_0^{(k)} \{\delta\}^{(k+1)}}} [\underline{K}]_0^{(k)} \{\delta\}^{(k+1)} - \{\gamma\}^{(k+1)}; \quad (\text{П6.159})$$

$$\{w\}^{(k+1)} = \frac{\{\delta\}^{(k+1)}}{\{\delta\}^{(k+1)} \{\gamma\}^{(k+1)}}. \quad (\text{П6.160})$$

Вектор  $[\underline{K}]_0^{(k)} \{\delta\}^{(k+1)}$  в (П6.159) фактически равен  $\alpha \cdot \{\psi\}_0^{(k)}$ , легко вычисляется.

Матрица  $([\underline{K}]_0^{(k+1)})^{-1}$ , вычисленная согласно (П6.156), является симметричной и положительно определенной. Поэтому число обусловленности  $\nu_{[\underline{K}]_0^{(k+1)}}$  матрицы  $([\underline{K}]_0^{(k+1)})^{-1}$  может быть вычислено как

$$\nu_{[\underline{K}]_0^{(k+1)}} = - \sqrt{\frac{(\{\delta\}^{(k+1)})^T \{\gamma\}^{(k+1)}}{(\{\delta\}^{(k+1)})^T + [\underline{K}]_0^{(k)} \{\delta\}^{(k+1)}}}. \quad (\text{П6.161})$$

Если это число превысит некоторое заданное значение, то это также можно считать признаком неудачного выбора параметра  $\alpha$ .

Если все преобразования САУ свести в единую цепь, то выражение (П6.151) может быть записано как

$$\{\Delta q\} = ([I] + \{w\}^{(k)} (\{v\}^{(k)})^T \dots ([I] + \{w\}^{(2)} (\{v\}^{(2)})^T ([K]_0)^{-1} [A]^{(2)} \dots [A]^{(k)} \{\psi\}_0^{(k)}). \quad (\text{П6.162})$$

Эта формула показывает, что решение можно найти, не проводя обновление матрицы жесткости и не проводя ее новых обращений. Кроме того, метод может уменьшать количество итераций, необходимых для получения сходимости решения с заданной точностью.

## П6.6 Основные положения UL-формулировки алгоритмов решения геометрически нелинейных краевых задач

Согласно таблице П6.1, при UL-формулировке в общем случае геометрической нелинейности (большие параллельные перемещения, большие вращения и большие деформации) используются напряжения Эйлера-Коши и логарифмические деформации Генки.

Итак, нужно рассмотреть вопрос о логарифмических деформациях Генки, а также об определяющих уравнениях, которые будут использоваться при формулировании постановок краевых задач, для получения системы алгебраических уравнений.

### П6.6.1 Разложение матрицы градиента деформации Грина на матрицы растяжения и вращения (теорема про полярную декомпозицию)

Покажем, что (несимметричную) матрицу  $[X]$  (П6.26) всегда можно представить как

$$[X] = [R][U]_R, \quad (\text{П6.163})$$

где  $[R]$  – матрица вращения (ортогональная), а  $[U]_R$  – правая матрица чистой деформации (симметричная). Об этом утверждает теорема про полярную декомпозицию.

Рассмотрим не вырожденную положительно определенную матрицу

$$[C] = [X]^T [X]. \quad (\text{П6.164})$$

Если  $[R]$  является матрицей вращения, то  $[R]^T [R] = [I]$ , где  $[I]$  – единичная матрица. Поэтому, с применением (П6.163):

$$[C] = ([R][U]_R)^T [R][U]_R = [U]_R^T ([R]^T [R]) [U]_R = [U]_R^T [I] [U]_R = [U]_R^T [U]_R = [U]_R^2. \quad (\text{П6.165})$$

Учтено, что матрица  $[U]_R$  должна быть симметричной, тогда  $[U]_R^T [U]_R = [U]_R^2$ .

Итак, поскольку в общем случае  $[U]_R \neq [X]$ , то

$$[U]_R = [C]^{1/2} = ([X]^T [X])^{1/2}. \quad (\text{П6.166})$$

Но легко вычислить  $[U]_R$  из (П6.166) удастся лишь тогда, когда  $[X]^T [X]$  является диагональной матрицей. В противном случае для получения компонент  $[U]_R$  рассмотрим стандартную симметричную проблему собственных значений для симметричной матрицы  $[C]$ :

$$[C] \{w\} = \lambda \{w\}. \quad (\text{П6.167})$$

Из полученных собственных значений  $\lambda_i > 0$ ;  $i = 1, 2, 3$  сложим диагональную матрицу  $[\lambda_C]$ , а из собственных векторов (столбцов)  $\{w\}$  – матрицу собственных векторов  $[W]_R$ .

Матрице  $[U]_R$  соответствует тензор  $\vec{U}_R$ . Поскольку есть прямая связь между  $[C]$  и  $[U]_R$ , а именно  $[C] = [U]_R^2$ , то любой главный базис тензора  $\vec{C}$  будет одновременно главным базисом тензора  $\vec{U}_R$ , который порождает матрицу  $[U]_R$  (и наоборот). Поскольку матрица  $[C]$  не вырождена, а также положительно определена, то ее собственные значения являются положительными, которые вместе с тем являются квадратами собственных значений матрицы  $[U]_R$ . Поэтому из величин  $\sqrt{\lambda_i} \geq 0$  можно собрать новую диагональную матрицу, обозначим ее как  $[\underline{U}]$ :

$$[\underline{U}] = [\lambda_C]^{1/2}. \quad (\text{П6.168})$$

Тогда с применением матрицы  $[\underline{U}]$  и матрицы собственных векторов  $[W]_R$  можно получить матрицу, которая и будет искомой матрицей  $[U]_R$ :

$$[U]_R = [W]_R [\underline{U}] [W]_R^T. \quad (\text{П6.169})$$

Матрицу вращения  $[R]$  можно получить из выражения (П6.163):

$$[R] = [X][U]_R^{-1}. \quad (\text{П6.170})$$

Свойство  $[R]^T [R] = [I]$ , обязательное для матрицы вращения, было заложено при получении матрицы  $[U]_R$ . Чтобы матрица  $[R]$  была матрицей вращения, ей еще нужно иметь  $\det[R] = 1$ . Это действительно так, поскольку:

$$\det[R] = \det[X] \cdot \det[U]_R^{-1} = J / \det[U]_R = J / \det[\underline{U}] = J / \det[\lambda_C]^{1/2} = J / J = 1.$$

Симметричная проблема собственных значений для не вырожденной, положительно определенной матрицы имеет лишь один вариант решения. Поэтому и полярная декомпозиция (П6.163) тоже имеет лишь один вариант.

Кроме *правой* матрицы чистой деформации  $[U]_R$  еще рассматривают *левую* матрицу чистой деформации  $[U]_L$ , а именно, вместо (П6.163) – формулу

$$[X] = [U]_L [R]. \quad (\text{П6.171})$$

Действия – аналогичны. С использованием (П6.163)  $[X] = [R][U]_R = [U]_L [R]$ , поэтому

$$[U]_L = [R][U]_R [R]^T; \quad [U]_L = [W]_L [\underline{U}] [W]_L^T; \quad [W]_L = [R][W]_R; \quad [W]_R = [R]^T [W]_L. \quad (\text{П6.172})$$

**Примечание П6.4.** Согласно (П6.163) деформирование рассматривается как процесс, в котором последовательно реализуются: сначала чистая деформация элементарного объема, потом – его жесткое вращение. В случае использования декомпозиции (П6.171) процесс рассматривается строго наоборот: сначала – жесткое вращение, потом – чистая деформация.

В обоих случаях матрицы  $[U]_R$  и  $[U]_L$  с чистой деформацией элементарного объема вычисляются через матрицу  $[\underline{U}]$ , которая фактически содержит чистую деформацию *в направлении главных осей* деформации, т.е. матрица  $[\underline{U}]$  не содержит угловых деформаций (является диагональной). Это позволяет интерпретировать диагональные компоненты матрицы  $[\underline{U}]$  как представителей главных деформаций тензоров деформаций и определить, в частности, тензор деформаций Грина-Лагранжа как (матричное обозначение, нормированная ортогональная система координат)

$$[\epsilon] = [W]_R (0.5([\underline{U}]^2 - [I])) [W]_R^T. \quad (\text{П6.173})$$

### П6.6.2 Логарифмические деформации Генки (Hencky)

Если считать, что направление деформации волокна материала с исходной длиной  $L_0$  при деформировании не изменяется, то текущую продольную деформацию волокна можно определить как

$$\epsilon_H = \int_{L_0}^L \frac{dx}{x} = \ln \left( \frac{L}{L_0} \right) = \ln \left( \frac{L_0 + \Delta L}{L_0} \right) = \ln(1 + \epsilon), \quad \text{где } \epsilon = \frac{\Delta L}{L_0}. \quad (\text{П6.174})$$

Это и есть логарифмическая деформация Генки для волокна материала.

Если использовать матрицы собственных векторов  $[W]_R$ , то тензор деформации Генки можно определить как (матричное обозначение)

$$[\epsilon]_H = [W]_R [\Lambda] [W]_R^T, \quad (\text{П6.175})$$

где диагональная матрица  $[\Lambda]$  содержит компоненты

$$\Lambda_{ii} = \ln(1 + \epsilon_i) = \ln \sqrt{\lambda_i}, \quad i = 1, 2, 3, \quad (\text{П6.176})$$

причем  $\lambda_i > 0$  – собственные значения матрицы  $[C]$ , определяемые из системы (П6.167).

**Примечание П6.5.** Поскольку в определении тензоров деформаций Грина-Лагранжа (П6.173) и Генки (П6.175) отсутствует матрица вращения  $[R]$  (есть только главные деформации и матрицы собственных векторов), то это означает, что эти оба тензора не зависят от жесткого вращения элементарного объема тела.

**Примечание П6.6.** Из примечания П6.5 следует, что компоненты тензора *малых* деформаций (П5.8) генерируют паразитные (на самом деле отсутствующие) деформации при жестком вращении и смещении элементарного объема тела. Именно поэтому формулами (П5.8) нельзя пользоваться при наличии жесткого вращения элементарного объема тела.

Логарифмические деформации Генки при **UL**-формулировке применяются лишь для вычисления компонент матрицы, аналогичной по смыслу  $[\tilde{D}]$  (см. формулу (П6.143-а)) при наличии необратимых деформаций, больших, чем 2 процента. При этом удастся избавиться от сложения деформаций (упругих, пластичных, температурных) и перейти к сложению перемещений, что не вносит никаких погрешностей. Для этого используются разложения и подходы, первоначально разработанные для гиперупругих материалов. Изложения этих формулировок тут не приводим. В сжатом виде информацию можно получить в разделе 6.6.4 книги [69].

### П6.6.3 Сходства и особенности **UL**- и **TL**-формулировок алгоритмов решения геометрически нелинейных краевых задач

Как было указано в Разделе П6.1, **UL**-формулировка отличается от **TL**-формулировки тем, какая геометрия выбирается опорной: для **UL** – *начальная*, для **UL** – *созданная предыдущим этапом нагружения*. Поэтому существенных изменений при получении системы алгебраических уравнений не будет.

Вводится внутреннее время, весь этап нагружения автоматически делится на несколько (например, на 10) промежуточных этапов – слоев. Верхним индексом  $n$  будем обозначать такой временной слой. Нижний индекс, как и ранее, определяет начальную конфигурацию.

Поскольку деформации всегда вычисляются относительно начального состояния, то начнем почти с конца: с уравнения (П6.131-а) с учетом (П6.129-а).

Будем считать, что есть решение на  $n$ -м временном слое, рассматривается следующий,  $(n+1)$ -й. Изменится опорная геометрия: вместо  $(\Omega^e)_0$  и  $(S_p^e)_0$  будут  $(\Omega^e)_0^n$  и  $(S_p^e)_0^n$ . Напряжения  $\{\underline{\sigma}\}_0$ , объемные  $\{Q\}_0$  и поверхностные  $\{p\}_0$  силы на опорной геометрии  $n$ -го временного слоя обозначим как  $\{\underline{\sigma}\}_0^n$ ,  $\{Q\}_0^n$  и  $\{p\}_0^n$  соответственно.

Уравнения (П6.129-б) и (П6.131-а) изменяются на:

$$\{P\}_0^n = \sum_e (\{P\}_0^n)_e; \quad (\{P\}_0^n)_e = \int_{(\Omega^e)_0^n} [\phi]^T \{O\}_0^n (d\Omega)_0^n + \int_{(S_p^e)_0^n} [\phi]^T \{p\}_0^n (dS)_0^n + \sum_{i=1}^{N_p} \{\bar{P}\}_i^n; \quad (\text{П6.129-в})$$

$$\sum_e \int_{(\Omega^e)_0^n} [\tilde{B}]^T \{\underline{\sigma}\}_0^n (d\Omega)_0^n \approx \{P\}_0^n \quad \text{или} \quad \{R\}_0^n = \{P\}_0^n. \quad (\text{П6.131-б})$$

Вместо (П6.143-а) и (П6.130-а) будем иметь соответственно

$$[\tilde{D}] = \frac{\partial \{\underline{\sigma}\}_0^n}{\partial \{\varepsilon\}}; \quad (\text{П6.143-б})$$

$$\{R\}_0^n = \sum_e (\{R\}_0^n)_e, \quad \text{где} \quad (\{R\}_0^n)_e = \int_{(\Omega^e)_0^n} [\tilde{B}]^T \{\underline{\sigma}\}_0^n (d\Omega)_0^n. \quad (\text{П6.130-б})$$

Как и ранее отметим, что вариантов выражений (П6.143-б) столько, сколько моделей материалов, т.е. много. Поэтому здесь выражения для матрицы  $[\tilde{D}]$  не рассматриваем.

Вместо (П6.147-б) получим такую систему уравнений:



$$\left([\underline{K}]_0^n\right)^{(k)} \{\Delta q\} \approx (\{P\}_0^n)^{(k)} - (\{R\}_0^n)^{(k)}; \quad \{q\}^{(k+1)} = \{q\}^{(k)} + \{\Delta q\}; \quad (\text{П6.147-в})$$

Кроме того  $(\{\sigma\}_0^n)^{(0)} = \{\sigma\}_0^n$ , т.е. являются напряжениями Эйлера-Коши с компонентами  $\sigma^{ij}$ , достигнутыми на конец предыдущего ( $n - \text{го}$ ) этапа нагружения. Стартовое уравнение (П6.149-б) остается неизменным (только при  $n = 0$ ), т.е. старт обоих алгоритмов является одинаковым: упругим и по уравнениям бесконечно малых деформаций.

#### П6.6.4 Алгоритмы методов ограничения нагрузок/перемещений при решении краевой задачи с учетом геометрической нелинейности. Сферический критерий длины дуги (М.А. Crisfield)

В нелинейном анализе довольно часто нужно в автоматическом режиме уменьшать заданную нагрузку, чтобы не потерять точность решения, не пропустить существенную нелинейность процесса деформирования, например, при нелинейно-упругой или неупругой потере устойчивости, при старте трещины, при контактировании и т.п. После прохождения такого участка требуется снова в автоматическом режиме увеличить нагрузку до максимальной, т.е. реализовать посткризисное состояние.

Для регулирования нагрузок обычно вводится скалярный множитель  $\lambda \in [-1, 1]$  при векторе нагрузок  $\{P\}_0$  (E. Riks), т.е. применяется нагрузка  $\lambda \{P\}_0$ . Тогда условие равновесия (П6.131-б) заменяется на

$$(\{R\}_0^n)^{(k)} = \lambda (\{P\}_0^n)^{(k)}. \quad (\text{П6.177})$$

Поскольку алгоритмы ограничения нагрузок/перемещений обычно применяют одновременно с методом Ньютона-Рафсона, то, как и в Разделе П6.5.2 данного Приложения, введем вектор погрешности приближения уравнения равновесия (П6.177) в виде

$$\{\psi\}^{(k)} = \lambda^{(k)} (\{P\}_0^n)^{(k)} - (\{R\}_0^n)^{(k)}; \quad k = 0, 1, \dots, \quad (\text{П6.178})$$

где согласно (П6.130-б)  $(\{R\}_0^n)^{(k)} = \int_{(\Omega^e)_0} [\tilde{B}]^T (\{\sigma\}_0^n)^{(k)} (d\Omega)_0$  зависит от  $\{q\}^{(k)}$ , поскольку напряжения  $(\{\sigma\}_0^n)^{(k)}$  прямо зависят от  $\{q\}^{(k)}$ . Т.е.  $\{\psi\}^{(k)} = \{\psi\}^{(k)}(\{q\}, \lambda)$ .

Согласно методу Ньютона-Рафсона рассмотрим первые члены разложения  $\{\psi\}^{(k+1)}$  в ряд, приравняем разложение нулю:

$$\{\psi\}^{(k+1)} \approx \{\psi\}^{(k)} + \left(\frac{\partial \{\psi\}}{\partial \{q\}}\right)^{(k)} \{dq\} + \left(\frac{\partial \{\psi\}}{\partial \lambda}\right)^{(k)} d\lambda = 0. \quad (\text{П6.179})$$

Аналогично (П6.145) запишем, что  $\left(\frac{\partial \{\psi\}}{\partial \{q\}}\right)^{(k)} \{dq\} \approx -([\underline{K}]_0^n)^{(k)} \{dq\}$ , а из (П6.178) имеем

$$\left(\frac{\partial \{\psi\}}{\partial \lambda}\right)^{(k)} d\lambda = (\{P\}_0^n)^{(k)} d\lambda. \text{ С учетом (П6.178) выражение (П6.179) примет вид}$$

$$([\underline{K}]_0^n)^{(k)} \{dq\} = \{\psi\}^{(k)} + (\{P\}_0^n)^{(k)} d\lambda = (\lambda^{(k)} + d\lambda)(\{P\}_0^n)^{(k)} - (\{R\}_0^n)^{(k)}. \quad (\text{П6.180})$$

Представим  $\{dq\}$  в виде

$$\{dq\} = \{d\bar{q}\} + \{d\bar{\bar{q}}\} d\lambda, \quad (\text{П6.181})$$

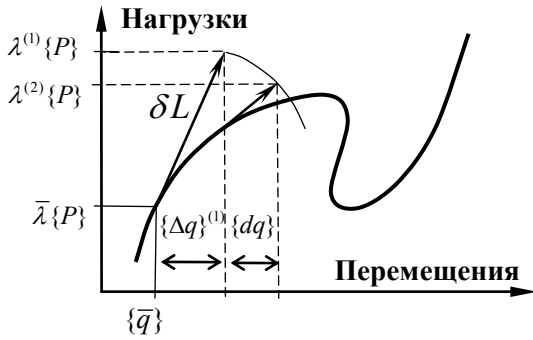
где составляющие векторов  $\{d\bar{q}\}$  и  $\{d\bar{\bar{q}}\}$  соответствуют уравнениям

$$([\underline{K}]_0^n)^{(k)} \{d\bar{q}\} = \{\psi\}^{(k)} = \lambda^{(k)} (\{P\}_0^n)^{(k)} - (\{R\}_0^n)^{(k)}; \quad (\text{П6.182})$$

$$([\underline{K}]_0^n)^{(k)} \{d\bar{\bar{q}}\} = (\{P\}_0^n)^{(k)}. \quad (\text{П6.183})$$

Если (П6.183) умножить на  $d\lambda$ , а результат сложить с (П6.182), то получим, с учетом (П6.181), выражение (П6.180).

Поскольку в уравнении (П6.181)  $\lambda^{(k)}$ ,  $\{d\bar{q}\}$  и  $\{d\bar{q}\}$  для  $(k+1)$ -й итерации известны, то имеем уравнение относительно еще неизвестных двух составляющих:  $\{dq\}$  и  $d\lambda$ . Нужно еще одно уравнение. Оно должно отображать некоторый критерий, который позволяет определиться с направлением и законом изменения параметра  $\lambda$ .



**Рис.П6.3. К критерию ограничения нагрузок/перемещений**

приращения нагрузок, то получим (см. рис.П6.3) так называемый *сферический критерий длины дуги (the Spherical Arc-length Criterion)*:

$$(\lambda - \bar{\lambda})^2 \beta^2 ((\{P\}_0^n)^{(k)})^T (\{P\}_0^n)^{(k)} + (\{q\} - \{\bar{q}\})^T (\{q\} - \{\bar{q}\}) = (\delta L)^2, \quad (\text{П6.184-а})$$

где  $\beta$  – коэффициент нормализации (чтобы сделать одинаковыми размерности). Полная нагрузка (на рис.П6.3 на нее указывает вектор) уменьшается, причем траекторию уменьшения создает *тот же самый вектор* длиной  $\delta L$ .

В выражении (П6.184-а)

$$\lambda = \lambda^{(k+1)} = \bar{\lambda} + \Delta\lambda^{(k)} + d\lambda; \quad \{q\} = \{q\}^{(k+1)} = \{\bar{q}\} + \{\Delta q\}^{(k)} + \{dq\}, \quad (\text{П6.185})$$

поэтому оно изменяется на

$$(\Delta\lambda^{(k)} + d\lambda)^2 \beta^2 ((\{P\}_0^n)^{(k)})^T (\{P\}_0^n)^{(k)} + (\{\Delta q\}^{(k)} + \{dq\})^T (\{\Delta q\}^{(k)} + \{dq\}) = (\delta L)^2. \quad (\text{П6.184-б})$$

Это и есть второе выражение для определения неизвестных  $\{dq\}$  и  $d\lambda$ . Подставим первое уравнение, а именно (П6.181), в (П6.184-б):

$$(\Delta\lambda^{(k)} + d\lambda)^2 \beta^2 ((\{P\}_0^n)^{(k)})^T (\{P\}_0^n)^{(k)} + (\{\Delta q\}^{(k)} + \{d\bar{q}\} + \{d\bar{q}\}d\lambda)^T (\{\Delta q\}^{(k)} + \{d\bar{q}\} + \{d\bar{q}\}d\lambda) = (\delta L)^2. \quad (\text{П6.184-в})$$

После группирования членов при величинах  $(d\lambda)^2$  и  $d\lambda$  получим квадратичное уравнение относительно  $d\lambda$ :

$$a \cdot (d\lambda)^2 + b \cdot d\lambda + c = 0, \quad (\text{П6.186})$$

где коэффициенты

$$\begin{aligned} a &= \{d\bar{q}\}^T \{d\bar{q}\} + \beta^2 ((\{P\}_0^n)^{(k)})^T (\{P\}_0^n)^{(k)}; \\ b &= 2\Delta\lambda^{(k)} \beta^2 (\{P\}_0^n)^{(k)T} \{P\}_0^n^{(k)} + 2(\{\Delta q\}^{(k)} + \{d\bar{q}\})^T \{d\bar{q}\}; \\ c &= (\Delta\lambda^{(k)})^2 \beta^2 (\{P\}_0^n)^{(k)T} \{P\}_0^n^{(k)} + (\{\Delta q\}^{(k)} + \{d\bar{q}\})^T (\{\Delta q\}^{(k)} + \{d\bar{q}\}) - (\delta L)^2. \end{aligned} \quad (\text{П6.187})$$

Квадратичное уравнение имеет два решения:

$$d\lambda_{1,2} = (-b \pm \sqrt{b^2 - 4ac}) / (2a). \quad (\text{П6.188})$$

Из них нужно выбрать то, для которого угол между векторами  $\{q\}^{(k)} - \{\bar{q}\}$  и  $\{q\}^{(k+1)} - \{\bar{q}\}$  меньше 90 градусов, т.е.:

$$\cos \theta = \frac{(\{q\}^{(k)} - \{\bar{q}\})^T (\{q\}^{(k+1)} - \{\bar{q}\})}{\delta L^2} > 0. \quad (\text{П6.189-а})$$

Поскольку, согласно (П6.173-а)  $\{q\}^{(k+1)} = \{q\}^{(k)} + \{dq\}$ , а  $\{q\}^{(k)} - \{\bar{q}\} = \{\Delta q\}^{(k)}$ , то  $\{q\}^{(k+1)} - \{\bar{q}\} = \{\Delta q\}^{(k)} + \{dq\}$ . Поэтому условие (П6.189-а) запишется как

$$\cos \theta = \frac{(\{\Delta q\}^{(k)})^T (\{\Delta q\}^{(k)} + \{dq\})}{\delta L^2} > 0. \quad (\text{П6.189-б})$$

Если такого значения  $d\lambda$  не оказалось, то это означает, что нагрузка  $\lambda^{(1)} \{P\}_0^{(1)}$  выбрана неудачно, необходимо уменьшить  $\lambda^{(1)} = \bar{\lambda} + \Delta\lambda^{(1)}$ .

Если оказалось, что

$$(\{q\}^{n-1} - \{q\}^{n-2})^T \{\Delta \bar{q}\} < 0, \quad (\text{П6.190})$$

т.е. жесткость тела падает, то необходимо изменить знак при  $\Delta\lambda^{(k)}$  на противоположный (начать разгрузку). Здесь (и ниже) верхний индекс  $n$  обозначает номер шага нагрузки, а значения соответствуют решениям на указанных этапах.

Еще необходимо следить за тем, чтобы было  $\lambda^{(k)} \leq 1$ . При  $\lambda^{(k)} = 1$  имеем обычный итерационный процесс Ньютона-Рафсона.

Начальное значение  $\delta L$  можно выбирать по формуле Рикса

$$\delta L^2 = (\Delta\lambda^{(1)})^2 \left[ \{\Delta \bar{q}\}^T \{\Delta \bar{q}\} + \beta^2 ((\{P\}_0^n)^{(1)})^T (\{P\}_0^n)^{(1)} \right], \quad (\text{П6.191})$$

причем величина

$$\Delta\lambda^{(1)} = 1/m, \quad (\text{П6.192})$$

где  $m$  – количество шагов, которое может изменять (задавать) пользователь.

На дальнейших этапах нагружения величина  $\delta L$  подбирается: уменьшается при большой нелинейности (при значительном количестве итераций на этапах), и наоборот. Еще учитывается изменение жесткости тела. Предыдущее (старое) значение  $\delta L_{old}$  масштабируется:

$$\delta L_{new} = \mu \delta L_{old}. \quad (\text{П6.193})$$

Например, коэффициент влияния количества итераций рекомендуется определять по формуле

$$\mu_I = \sqrt{I_d / I_r}, \quad (\text{П6.194})$$

где  $I_d$  – желательное количество итераций для сходимости;  $I_r$  – реальное (на предыдущем этапе нагружения); а коэффициент влияния изменения жесткости тела – по формуле

$$\mu_K = \frac{K_{old}}{K_{new}} = \left| \frac{(\{q\}^n - \{q\}^{n-1})^T (\{R\}_0^{n-1} - \{R\}_0^{n-2})}{(\{q\}^{n-1} - \{q\}^{n-2})^T (\{R\}_0^n - \{R\}_0^{n-1})} \right|. \quad (\text{П6.195-а})$$

Эту формулу можно переписать в более привлекательном виде:

$$\mu_K = \left| \frac{\Delta\lambda^{n-1} / \delta L^{n-1}}{\Delta\lambda^n / \delta L^n} \right| = \left| \frac{\Delta\lambda^{n-1} \delta L^n}{\Delta\lambda^n \delta L^{n-1}} \right|. \quad (\text{П6.195-б})$$

Если  $\mu_I$  и  $\mu_K$  одновременно превышают единицу, то из двух этих значений выбирается минимальное, т.е.  $\mu = \min\{\mu_I, \mu_K\}$ ; и, наоборот, при значениях, меньших единицы, выбирается максимальное, т.е.  $\mu = \max\{\mu_I, \mu_K\}$ . Если эти условия не выполняются, то принимается  $\mu = 1$ . Кроме того, масштабный коэффициент нужно ограничивать некоторым диапазоном, например,  $\mu \in [0.25, 4]$ , а также следить, чтобы  $\lambda^{(k)} \leq 1$ . Если в расчетах получили  $\lambda^{(k)} > 1$ , то необходимо отказаться от процедуры ограничения нагрузки или уменьшить  $\delta L$ . Если итерационный процесс не сходится, то необходимо значительно уменьшить  $\delta L$ , например, в два или четыре раза. Все это реализовано в NX Nastran 7.1 (и более ранних версиях Nastran).

## П6.7 Заключительные замечания

В завершении раздела отметим следующее:

- в NX Nastran алгоритмы (П6.147) носят название алгоритмами *континуальной механики возрастающей TL– и UL-формулировки (Continuum Mechanics Incremental Total and Updated Lagrangian Formulations)*;
- основной публикацией, на которую ссылается „**Help**” по этому вопросу, является книга [69];
- обозначения в этом разделе иногда значительно отличаются от обозначений, примененных в „**Help**” NX Nastran и в книге [69]. Причиной этого являются старания автора упростить обозначения, а также сохранить одинаковую систему обозначений для всех Приложений, в которых излагается теоретические основы.